



Meine elektronische
Gesundheitsakte.
Meine Entscheidung!

ELGA GmbH

Anbindung von DICOM Ressourcen in ELGA

Architektur des bereichsübergreifenden
Austauschs von Bilddaten

Datum: 04.09.2023

Version: 2.00f

1 Inhaltsverzeichnis

2	1.	Architektur des bereichsübergreifenden Bilddatenaustauschs in ELGA	4
3	1.1.	Einleitung	4
4	1.2.	Häufig verwendete Abkürzungen	5
5	1.3.	Abgrenzungen und wichtige Richtigstellungen	6
6	1.4.	ELGA und e-Health	7
7	1.5.	Anforderungen	7
8	1.6.	IHE XCA-I Architektur	9
9	1.6.1.	Allgemeines	9
10	1.6.2.	Registrieren von Bilddaten in ELGA	10
11	1.6.3.	ZGF-I Spezifikation	11
12	1.6.3.1.	Funktionale Spezifikation	11
13	1.6.3.2.	Schnittstellenspezifikation	12
14	1.6.3.3.	Netzwerkverbindungen für RAD-69 und https-Streaming	14
15	1.6.4.	Spezifikation des bereichsspezifischen Adapters	15
16	1.6.5.	Autorisierung, Zugriffseinschränkungen und Protokollierung	15
17	1.6.5.1.	Allgemeines	15
18	1.6.5.2.	ZGF KOS-Cache	16
19	1.6.5.3.	ELGA Treatment Imaging-Assertion	17
20	1.6.5.4.	Confidentiality & Integrity	17
21	1.6.5.5.	Protokollierung	18
22	1.6.6.	Beispielhaftes Veröffentlichen von DICOM-Studien/Serien in ELGA	19
23	1.6.7.	Beispiel Sequenz „DICOM Studie herunterladen“	20
24	1.6.8.	Kopplung von Befunden mit Bilddaten	22
25	1.6.9.	Versionierung	23
26	1.6.10.	APPC	23
27	1.7.	Erweiterung der Architektur	24
28	1.7.1.	Fragmentierte Natur der Gesundheitsnetzwerke	24
29	1.7.2.	Gründe für die Erweiterung auf IHE WIA	25
30	1.8.	IHE WIA Architektur im abgesicherten Netzwerk	26
31	1.8.1.	QIDO Service Facade (QIDO-SF)	26
32	1.8.1.1.	Protokollierung	27
33	1.8.2.	QIDO-as-a-Service (QIDOaaS)	27
34	1.8.2.1.	Protokollierung	28
35	1.8.3.	WADO Service Facade (WADO-SF)	28
36	1.8.3.1.	Protokollierung	29
37	1.8.4.	Ablauf und GDA-Kommunikation	30
38	1.9.	IHE WIA Architektur im Internet	31

39	1.9.1.	QIDO Service Facade (QIDO-SF)	31
40	1.9.2.	QIDO-as-a-Service (QIDOaaS)	32
41	1.9.3.	WADO Service Facade (WADO-SF)	33
42	1.9.4.	Authentifizierung und Zugriffsautorisierung	33
43	1.9.4.1.	Authentifizierung	33
44	1.9.4.1.1.	Authentifizierung im Internet ohne ID-Austria	34
45	1.9.4.2.	Autorisierung	34
46	1.9.4.3.	KOS/QIDO-Spezifika	34
47	1.9.4.4.	Das „Retrieve URL“ (0008,1190) Problem	35
48	1.9.5.	Ablauf und GDA-Kommunikation mit DICOMweb-Services im Internet	35
49	1.10.	Hybrides Szenario	37
50	2.	Anwendungsfälle	39
51	2.1.	Anwendungsfälle von ELGA-Teilnehmern bzw. deren Vertretern	40
52	2.2.	GDA-Anwendungsfälle (XDS-I & XCA-I)	41
53	2.3.	GDA-Anwendungsfälle (via WIA-Profile)	42
54	3.	XDS-I Metadaten für Bilddaten	43
55	4.	Abbildungsverzeichnis	44
56	5.	Literaturverzeichnis	45
57	6.	Dokumentenhistorie (Auszug)	46
58			

59 1. Architektur des bereichsübergreifenden Bilddatenaustauschs in ELGA 60

61 1.1. Einleitung

62 Entsprechend der Begriffsbestimmungen in der aktuellen Fassung des ELGA-Gesetzes
63 §2.9a sind ELGA-Gesundheitsdaten personenbezogene Daten, die zur weiteren Behandlung
64 von ELGA-Teilnehmer/inne/n wesentlich sein könnten. Diese umfassen unter anderem
65 „medizinische Dokumente einschließlich allfälliger Bilddaten in standardisierter Form“.
66 Dementsprechend müssen neben medizinischen Befunden im standardisierten Format der
67 HL7[®] *Clinical Document Architecture*[®] *Rel.2* („CDA“)¹ auch Bilddaten in einem geeigneten
68 Standardformat in ELGA bereitgestellt werden. Die Wahl eines geeigneten Standardformats
69 für Bilder wird einerseits durch die gängige radiologische Praxis, und andererseits durch den
70 aktuellen Stand der technologischen Entwicklung beeinflusst. Demnach muss sich das
71 technische Lösungsdesign für den Bilddatenaustausch in ELGA streng an den in unserem
72 Gesundheitssystem vorhandenen und etablierten Lösungen (siehe hierfür DICOM &
73 DICOMweb) orientieren. Üblicher Praxis folgend werden digitale Bilddaten, die im Rahmen
74 bildgebender Verfahren (Digitales Röntgen, CT, PET, MRT etc.) entstehen, in eigens dafür
75 vorgesehenen Systemen, sogenannten *Picture Archiving and Communication Systems*
76 (PACS) verwaltet. Zur Persistenz und zum Austausch der Bilder kommt dabei primär der
77 internationale Standard DICOM² (*Digital Imaging and Communications in Medicine*, ISO
78 12052) zum Einsatz. Auf diesen Systemen aufbauend wird in ELGA eine entsprechende
79 Infrastruktur realisiert, die ausschließlich das Registrieren/Bereitstellen von Verweisen auf
80 Bilddaten sowie das Auffinden und Herunterladen von in den lokalen PACS oder anderen
81 adäquaten Speichersystemen verfügbaren Bilddaten ermöglicht. Aufgaben der
82 Bildgenerierung, -speicherung, und -bearbeitung werden in ELGA nicht unterstützt, sondern
83 müssen weiterhin durch die bewährten PACS, Bildarchivierungs-Systeme und radiologischen
84 Geräte adressiert werden. Darüber hinaus werden Themen wie die Unterstützung von
85 Imaging-Workflows oder gerichtete Kommunikation als Nicht-Ziele festgelegt.

¹ HL7[®] and CDA[®] are the registered trademarks of Health Level Seven International and the use does not constitute endorsement by HL7.

² DICOM[®] is the registered trademark of the National Electrical Manufacturers Association for its standards publications relating to digital communications of medical information. DICOM[®] is recognized by the International Organization for Standardization as the ISO 12052 standard.

86 **1.2. Häufig verwendete Abkürzungen**

87	ACS	Access Control System
88	AGW	Anbindungsgateway, eine Virtuelle Maschine
89	A-ARR	Aggregate Audit Record Repository (zentrale ELGA Komponente)
90	A²R²	Alternativbezeichnung von A-ARR
91	BeS	ELGA-Berechtigungssystem, erweitert um eHealth-Funktionalitäten
92	CDA	Clinical Document Architecture® (HL7 Standard)
93	DICOM	Digital Imaging and Communications in Medicine (DICOM®)
94	EBP	ELGA-Bürgerportal
95	ETS	ELGA Token Service (zentrale ELGA Komponente)
96	FHIR	Fast Healthcare Interoperability Resources (HL7 Standard)
97	GDA	Gesundheitsdiensteanbieter
98	HEX-I	eHealth eXchange of Images (ein Projekt zwischen Wien und der Vinzenzgruppe)
99	IDC	Imaging Document Consumer
100	IdP	Identity Provider
101	IDS	Imaging Document Source
102	IHE	Integrating the Healthcare Enterprise (internationale Initiative und Regelwerk)
103	ITI	IT Infrastructure (zur Bezeichnung von IHE-Transaktionen)
104	JPEG	Joint Photographic Experts Group
105	KH	Krankenhaus
106	KOS	Key Object Selection Document
107	L-ARR	Local Audit Record Repository (eine dezentrale Bereichskomponente)
108	OAuth2	Ein Autorisierungsstandard-Protokoll
109	OIDC	Open ID Connect (Ein Protokoll für Authentifizierung und Autorisierung)
110	OTS	OAuth2 Internet Token Service
111	OZGF	OAuth ZGF (früher als IZGF, Internet Zugriffssteuerungsfassade bezeichnet)
112	PACS	Picture Archiving and Communication System
113	PAP	Policy Administration Point (zentrale ELGA Komponente)
114	PH	Pflegeheim
115	RAD	IHE Radiology Framework
116	REST	Representational State Transfer (eine Alternative zum SOAP)
117	SOAP	Simple Object Access Protokoll (ein W3C-Industriestandard)
118	WADO	Web Access to DICOM Objects
119	WIA	Web-based Image Access
120	QIDO	Query for Imaging DICOM Objects
121	XDS	Cross Enterprise Document Sharing (IHE Profil)
122	XDS-I	Cross-enterprise Document Sharing for Imaging (IHE Profil)
123	XCA	Cross Community Access (IHE Profil)
124	XCA-I	Cross Community Access for Imaging (IHE Profil)
125	ZGF	Zugriffssteuerungsfassade (Komponente des BeS, Teil der AGW)
126	ZGF-I	Zugriffssteuerungsfassade für Imaging (Komponente des BeS)

127 **1.3. Abgrenzungen und wichtige Richtigstellungen**

128 Bei dieser Version des aktuellen Dokumentes handelt es sich um eine komplett überarbeitete
129 Version, welche anhand von Rückmeldungen und Kommentaren zur Version 1.85 erarbeitet
130 wurde.

131 Dieses Dokument behandelt das Thema der Bilddatenübertragung in ELGA und e-Health
132 vorwiegend aus der Sicht der Imaging Document Consumer Akteure sowie aus der Perspek-
133 tive des ELGA- und e-Health-Berechtigungssystems (im Weiteren BeS). Siehe diesbezüglich
134 den 4. und 5. Abschnitt (ELGA bzw. e-Health Anwendungen) der aktuellen Fassung des
135 GTelG. Dementsprechend gilt (4. Abschnitt, §13 (4); sowie §28 (2)), dass für Bilddaten aktu-
136 ell die ELGA-Bestimmungen schlagend sind. Die generelle und spezifische Erarbeitung des
137 Themenkreises (e-Health und Bilddaten) ist jedoch bereits in dafür aufgestellten Fachgre-
138 mien (Kernteam) früher erfolgt, die Resultate dieser Arbeiten wurden im Dokument *Gesamt-*
139 *konzept Bilddaten V1.1 „Organisationsübergreifende Nutzung von Bild- und Multimedia-*
140 *daten im österreichischen Gesundheitswesen“* [1] erfasst. Dieses Dokument ist auch
141 über die ELGA-Homepage (elga.gv.at/technischer-hintergrund) aufrufbar.

142 Hierfür ist weiters wichtig zu vermerken, dass der Wirkungsgrad des BeS auf der Ebene der
143 jeweiligen GDA-Organisationseinheiten bzw. AGW/ZGF endet. Darunter bzw. tiefer in der
144 Verarbeitungskette liegt die Verantwortung bzw. die Autorisierungshoheit bei den einzelnen
145 GDA. Authentifizierung der Anwender und Teilnehmer ist entsprechend ELGA-Gesamtarchi-
146 tektur externalisiert und wird an vertrauenswürdige Identity Provider (IdP) übertragen.

147 Entsprechend dieser Auslegung sind die in diesem Dokument erörterten, bereichsspezifi-
148 schen Adapter (auch sonstigen Adapter) sowie Imaging Document Source Akteure, im Wir-
149 kungsbereich der einzelnen ELGA-Bereiche und GDA zu sehen. Dieses Dokument beschäf-
150 tigt sich nicht mit dem Aufbau und Betrieb von solchen Adaptern. Es ist nicht auszuschlie-
151 ßen, dass aus der Sicht der Hersteller (PACS) bzw. der Bereichsbetreiber, das Aufstellen
152 oder Einrichten solcher Adapter nicht erforderlich ist. Dies ist insbesondere dann der Fall,
153 wenn ein Archivsystem die vom BeS unterstützen Transaktionen der Bilddatentransfers nativ
154 unterstützt (z.B. mittels DICOMweb).

155 **1.4. ELGA und e-Health**

156 Dieses Dokument beschreibt den Bilddatenaustausch aus der Sicht von ELGA und des
 157 ELGA-Berechtigungssystems (BeS). Zukünftig sollen aber auch e-Health Anwendungen im
 158 Bereich des Bilddatenaustauschs durch die hier vorgeschlagene ELGA-Architektur unter-
 159 stützt werden. e-Health wird daher als eine über die „ELGA Opt-Out Policy“ hinausgehende
 160 Erweiterung des ELGA-Berechtigungssystems mit autorisierten GDA-Anwendern (die nicht
 161 unbedingt auch ELGA-GDA sein müssen) betrachtet. e-Health-Anwendungen nutzen für be-
 162 stimmte Zwecke (Bilddatenübertragung, e-Impfpass, PVN, ...) die ELGA-Komponenten ganz
 163 oder teilweise und fallen nicht unter das Regime des 4. Abschnitts des Gesundheitstelema-
 164 tikgesetzes (ELGA, Opt-Out), sondern werden im 5. Abschnitt beschrieben (vgl. e-Impfpass).

165 **1.5. Anforderungen**

166 Die Bereitstellung von Bilddaten in ELGA muss folgenden Kriterien und Anforderungen genü-
 167 gen:

- 168 1. Bildarchive (PACS) können auch ohne Duplizierung von deren Inhalten an ELGA an-
 169 gebunden werden, unter der Voraussetzung, dass sie in gesicherten (hoch)verfügba-
 170 ren Rechenzentren betrieben werden und einen Zugang zu gesicherten Gesundheits-
 171 netzwerken (GIN/eHI bzw. HEALIX) haben.
- 172 2. Bilddaten müssen auch im **JPEG-Format** in reduzierter Auflösung/Qualität bandbrei-
 173 tensparend dynamisch (On-Demand) bereitgestellt werden können, zum Beispiel für
 174 das Bürgerportal (EBP). Der Zugriff auf Bilder in nativer Qualität darf aber nicht ver-
 175 hindert werden.
- 176 3. Das Berechtigungssystem muss folgende existierende Standards und Schnittstellen
 177 der anzubindenden Archive berücksichtigen und unterstützen:
 - 178 a. **DICOM** im Backend (PACS) als Basis
 - 179 b. **IHE XDS-I und XCA-I Profile**
 - 180 c. **IHE RAD** Technical Framework Revision 19 (oder höher)
 - 181 i. Client-Zugriffe via IHE RAD-69/75 **müssen** bereichsintern (XDS-I) und
 182 bereichsübergreifend (XCA-I) unterstützt werden
 - 183 ii. Das Registrieren von KOS-Objekten und deren Metadaten **muss** via
 184 RAD-68 erfolgen.
 - 185 d. **DICOM SOAP Web-Services**
 - 186 i. WADO-WS PS3.18 2016b (SOAP-Messaging) ist nicht mehr Teil der
 187 aktuellen DICOM-Spezifikation, wird aber nach wie vor in den IHE

- 188 XDS-I und XCA-I Profilen als Transaktion RAD-69 bzw. Rad-75 ver-
 189 wendet.
- 190 **e. DICOM REST Web-Services entsprechend PS3.18 (DICOMweb)**
- 191 i. QIDO-RS [RAD-129] und WADO-RS [RAD-107] sind entsprechend
 192 PS3.18 2021d (oder höher) zu unterstützen unter Berücksichtigung
 193 des IHE Integration Profiles Web Based Image-Access (WIA).
- 194 4. Dem ELGA GDA muss ermöglicht werden, auf Studien, Serien sowie einzelne Bilder
 195 bereichsübergreifend in Originalqualität und im Originalformat (DICOM) zuzugreifen.
- 196 a. Für die Anbindung am AGW (bzw. ZGF und IZGF) sind explizite Endpunkte
 197 und dedizierte Services für Bilddatenübertragung vorzusehen.
- 198 5. Änderungen in der Bilddarstellung sind Aufgaben der jeweiligen Anwenderoberflä-
 199 chen (UI – User Interface) und können nur im Rahmen der implementierten IHE- und
 200 DICOMweb-Profile unterstützt werden.
- 201 6. Das ELGA-Berechtigungssystem (BeS) ist entsprechend den gesetzlichen Vorgaben
 202 zuständig für die Zugriffsautorisierung.
- 203 7. Protokollierung (in den ELGA-Bereichen und für SOAP-basierenden Transaktionen
 204 gemäß IHE ATNA) ist für alle teilnehmenden Akteure verpflichtend.
- 205 8. Bilddaten werden unter Einsatz von DICOM KOS-Objekten (*Key Object Selection*
 206 *Document*) in ELGA verfügbar und abrufbar gemacht. Als Alternativformat zu DICOM
 207 KOS wird eine JSON-Repräsentation beim Anfordern von DICOM KOS unterstützt
 208 (entsprechend Anhang F, DICOM JSON Model in DICOM NEMA PS3.18 Dokumen-
 209 tation).
- 210 9. Die in ELGA registrierten DICOM KOS-Objekte (inkl. darauf basierende Befunde)
 211 müssen in den XDS-Metadaten einheitlich beschlagwortet werden. Hierfür ist der
 212 APPC (*Austrian PACS Procedure Code*) zu verwenden.
- 213 10. Metadaten für die Registrierung von KOS-Objekten sind entsprechend der in ELGA
 214 gültigen einheitlichen Vorgaben (XDS-Metadaten Leitfaden [3] und KOS Leitfaden
 215 von DICOM-Austria [4]) zu verwenden. Diese umfassen zudem die Abbildung von
 216 Relationen zwischen Radiologie-Befunden (CDA) und zugrundeliegenden Bildver-
 217 weisdaten, den KOS-Objekten.

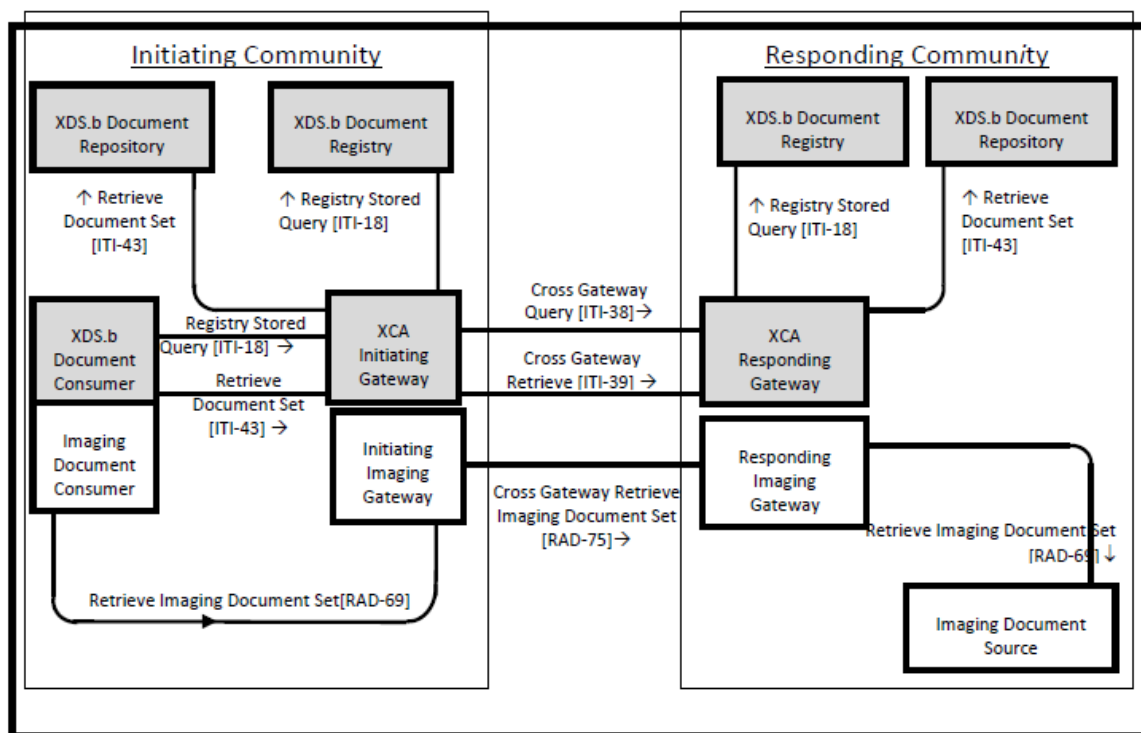
218 **1.6. IHE XCA-I Architektur**

219 **1.6.1. Allgemeines**

220 IHE-Vorgaben für Bilddatenaustausch (und im Allgemeinen der Austausch von Multimedia-
 221 Inhalten) sind zum Zeitpunkt der Erstellung dieses Dokumentes im Wandel. Frühere, aus-
 222 schließlich auf SOAP-Nachrichten basierende Ansätze sind teilweise nicht mehr zeitgemäß.
 223 Mobile Geräte und REST-Protokolle haben im letzten Jahrzehnt das Web erobert, was ent-
 224 sprechende Nachjustierungen und Neudefinitionen bei den Erwartungshaltungen bedarf. Die
 225 hier dargestellte Lösungsarchitektur nimmt weitgehend Rücksicht auf diese Tendenzen.

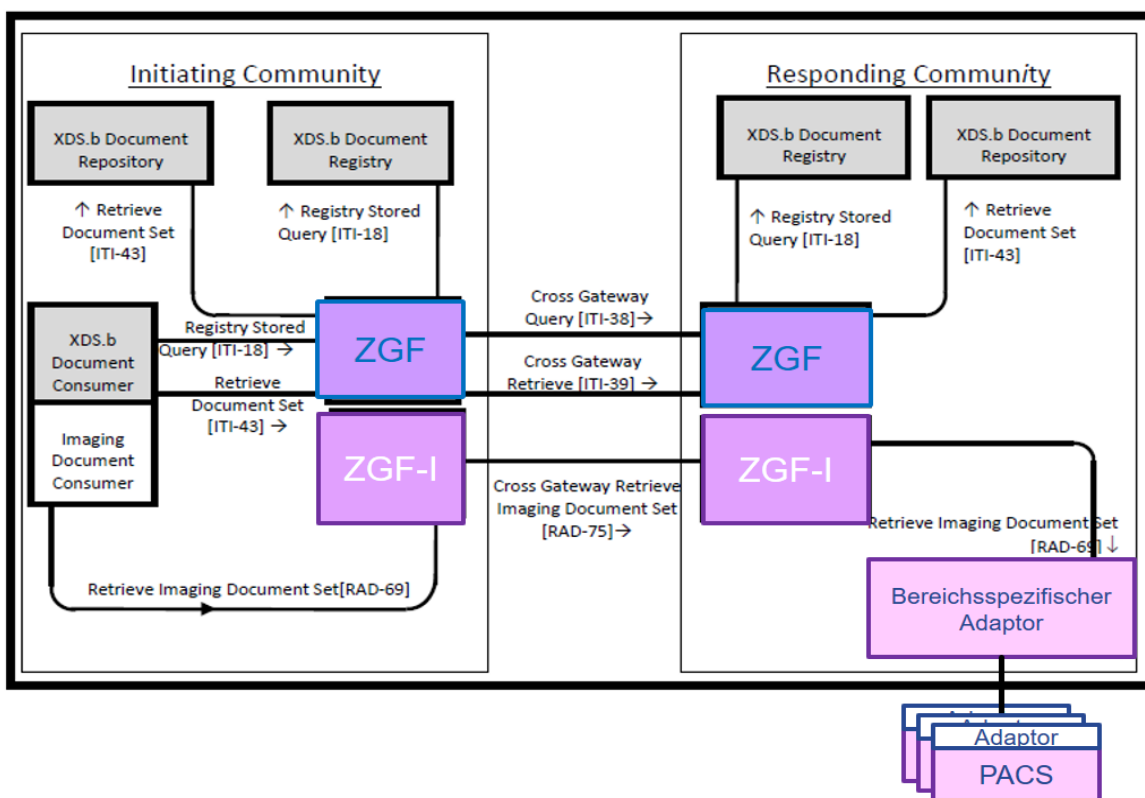
226 Die bereichsübergreifende Lösungsarchitektur leitet sich somit prinzipiell aus dem IHE XCA-I
 227 Modell ab (Abbildung 1), mit dem Ziel, die IHE-Konzepte entsprechend den aufgelisteten
 228 ELGA-Anforderungen und Bedürfnissen anzupassen (Abbildung 2).

229 IHE XCA-I sieht ein eigenes Initiating und Responding Imaging Gateway für den Bildaus-
 230 tausch vor. Dieser Akteur ist in ELGA in Form einer ZGF-I (Zugriffssteuerungsfassade für
 231 Imaging) zu realisieren. Bereichsintern (XDS-I.b) kommuniziert die ZGF-I mit den angebun-
 232 denen PACS/Archiven über einen zwischengeschalteten **bereichsspezifischen** Adapter
 233 (siehe Abbildung 2), der lokale Umsetzungsspezifika gegenüber der ZGF-I entkoppelt. Der
 234 Adapter wird im Kapitel 1.6.4 spezifiziert.



235

236 *Abbildung 1: XCA-I Konzept von IHE*



237

238 *Abbildung 2: ELGA-bereichsübergreifender Bilddaten-Austausch*

239 **1.6.2. Registrieren von Bilddaten in ELGA**

240 Bilddaten müssen in ELGA über ein für ELGA explizit freigegebenes KOS-Objekt (*Key Object Selection Document*) referenziert, angefordert und zugänglich gemacht werden. KOS-
 241 Objekte veröffentlicht (in ELGA) der Ersteller möglichst zeitnah zur Fertigstellung der damit
 242 zusammenhängenden Studie. KOS-Objekte müssen entsprechend des Leitfadens zu Erstellung
 243 und Verwendung von KOS-Objekten [4] aufgebaut werden.
 244

245 Ein KOS-Objekt wird mittels [RAD-68] *Provide and Register Imaging Document Set -*
 246 *MTOM/XOP* in einem XDS Repository gespeichert und durch dieses anschließend in einer
 247 XDS Registry für ELGA registriert (veröffentlicht).

248 Das KOS-Objekt selbst ist nicht Bestandteil der Studie und wird daher nicht aus dem PACS
 249 mitausgeliefert werden. Es ist darüber hinaus auch davon auszugehen, dass der Imaging
 250 Document Source Actor lokal kein KOS speichert. Das KOS stellt nur den Bildverweis im IHE
 251 Repository dar.

252 Für KOS-Objekte ist in ELGA eine Dokumentenklasse definiert (55113-5, *Key images*
 253 *Document Radiology*). Darüber hinaus müssen die beim Registrieren eines KOS-Objektes
 254 verpflichtend und optional geführten Metadaten den in ELGA gültigen Vorgaben folgen.

255 Dadurch wird es ermöglicht, ELGA-weit nach KOS-Objekten via [ITI-18] *Registry Stored*
256 *Query* zu suchen und diese dann in der Folge auch abzurufen.

257 Es ist legitim, nur ein KOS pro Studie zu erstellen und dieses im Fall von Erweiterungen zu
258 überschreiben (versionieren). Theoretisch können auch mehrere KOS für eine Studie regis-
259 triert werden. Prinzipiell gilt, dass bereits registrierte KOS per RPLC (replace) erweiterbar
260 sein müssen, damit eine erweiterte Studie veröffentlicht werden kann.

261 Das Berechtigungssystem verhindert das Abrufen von Bildmaterial, das von bereits als „de-
262 precated“ markierten KOS-Objekten referenziert wird.

263 Die veröffentlichten KOS-Objekte müssen selbst keinen APPC-Code beinhalten (in den DI-
264 COM Daten), bei der Registrierung in ELGA ist die Anreicherung **der Metadaten** mit dem
265 APPC jedoch **verpflichtend**.

266 Es gilt zu bedenken, dass ELGA standardmäßig ein gesetzlich vordefiniertes Zeitfenster
267 (mehrere Tage/Monate) für die Registrierung der Dokumente vorsieht. Ein ELGA-Dokument
268 kann nur in diesem Zeitfenster nach dem ambulanten Aufenthalt bzw. ab Entlassung erstre-
269 gistriert werden. Später bearbeitete Bilddaten können aus diesem Zeitfenster fallen und
270 könnten daher in ELGA nicht mehr veröffentlicht werden. Eine Ausnahme stellt das Update
271 unter dem Titel „Recht auf Richtigstellung“ dar.

272 **1.6.3. ZGF-I Spezifikation**

273 1.6.3.1. Funktionale Spezifikation

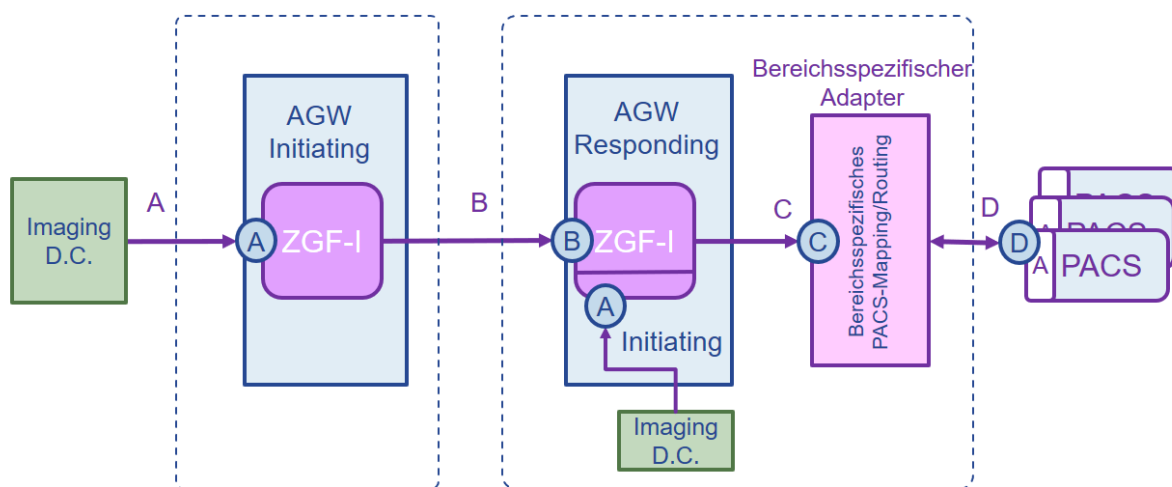
274 Der ZGF-I Akteur ist ein Teil des ELGA-Berechtigungssystems, er autorisiert und protokolliert
275 Anfragen entsprechend der in der Gesamtarchitektur [2] erläuterten Prinzipien (basierend auf
276 gesetzlichen Grundlagen). Darüber hinaus erfüllt eine ZGF-I die Bestimmungen und Definiti-
277 onen eines Imaging Gateways laut IHE RAD TF Vol.1.

278 Die ZGF-I bietet Schnittstellen und unterstützt Imaging-Protokolle zum Bildaustausch im Um-
279 fang des im folgenden Kapitel aufgelisteten Inhalts. Zwischen den initiiierenden und antwor-
280 tenden ZGF-I werden entsprechend XCA-I Profil lediglich SOAP-basierende Protokolle ver-
281 wendet.

282 Zusätzlich zu den Anforderungen, die aus den IHE-Profilen resultieren, und die die Ausliefe-
283 rung eines KOS-Objekts als natives DICOM Objekt vorsehen, muss die ZGF-I auch in der
284 Lage sein, ein KOS-Objekt in JSON umzuwandeln und in diesem Format auszuliefern. Der
285 Grund für die explizite Unterstützung von JSON liegt in der Anwendung dieses Formats in
286 gängigen Web-Anwendungen.

287 1.6.3.2. Schnittstellenspezifikation

288 Wenn ein Imaging Document Consumer Bilddaten anfordert, durchquert der Datenstrom
 289 mehrere Knoten und Schnittstellen. Ein vereinfachtes Bild dieser Übertragungskette ist in Ab-
 290 bildung 3 dargestellt. Ein Imaging Document Consumer sendet die initiiierende Anfrage an
 291 die Schnittstelle „A“ seiner lokalen initiiierenden ZGF-I. Die ZGF-I verarbeitet die Anfrage. Be-
 292 reichsübergreifend wird die Anfrage über die Schnittstelle „B“ einer antwortenden ZGF-I initi-
 293 iert. Die entfernte ZGF-I verarbeitet den eingehenden Request und leitet danach die Anfrage
 294 über die Schnittstelle „C“ an den bereichsspezifischen Adapter weiter. Der Adapter propa-
 295 giert via Schnittstelle „D“ die Anfragen an die angeschlossenen lokalen Systeme (PACS).



296

297 *Abbildung 3: Kommunikationswege und Schnittstellen. Ein bereichsspezifischer Adapter ist*
 298 *eine im Bereich zentral aufgestellte Komponente. „A“ rechts im Bild (optionale Komponente)*
 299 *bezeichnet lokale PACS- Adapter, welche http-basierende Protokolle (SOAP und/oder*
 300 *REST) auf DICOM umwandeln.*

301 An den **Schnittstellen „A“** ([https://<\\$AGW_FQDN>:443/XCA/DCMeBefunde](https://<$AGW_FQDN>:443/XCA/DCMeBefunde)) der initiiieren-
 302 den ZGF-I müssen zumindest folgende Schnittstellen und Protokolle unterstützt werden:

- 303 • RAD-68 entsprechend IHE RAD Technical Framework: Provide and Register Imaging
 304 Document Set
- 305 • RAD-69 entsprechend IHE RAD Technical Framework
 306 ○ RetrievalImagingDocumentSet

307 An den **Schnittstellen „B“** ([https://<\\$AGW_FQDN>:443/XCA/DCMeBefunde/respGW](https://<$AGW_FQDN>:443/XCA/DCMeBefunde/respGW)) der
 308 responding ZGF-I muss entsprechend XCA-I Profil die Transaktion RAD-75 implementiert
 309 werden.

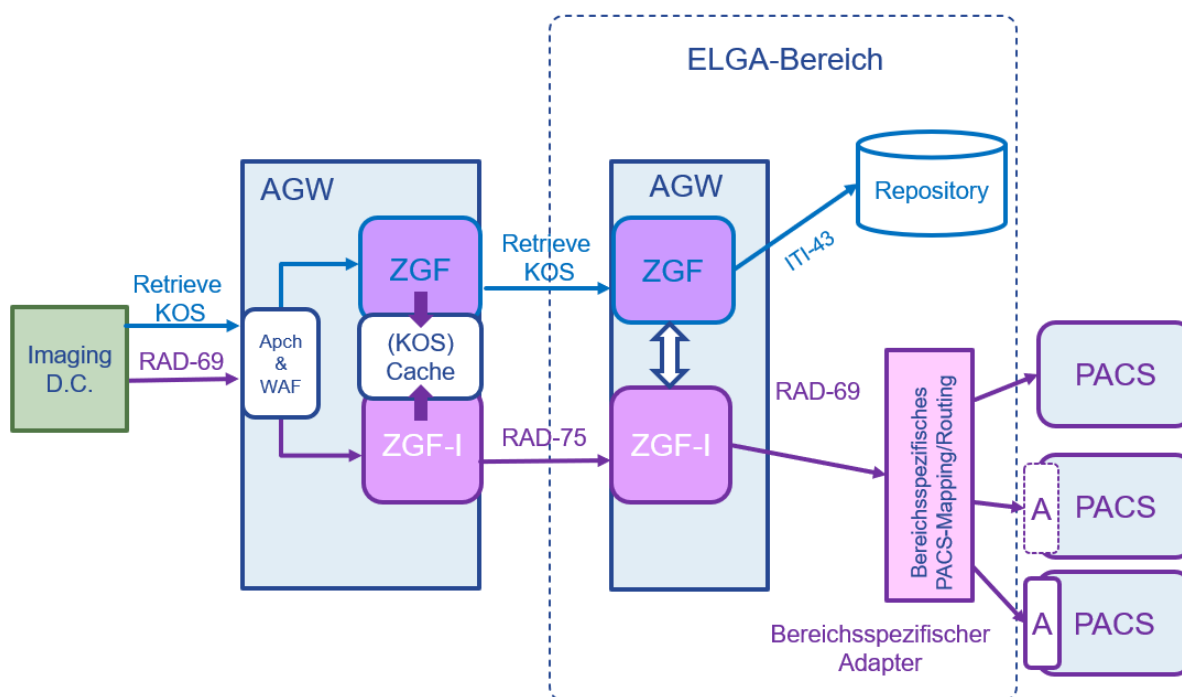
310 An den **Schnittstellen „C“** des Adapters ist RAD-69 vorgesehen. Die antwortende (respon-
 311 ding) ZGF-I führt keine Protokollumwandlungen durch. RAD-69 wird als RAD-69 an den be-
 312 reichsspezifischen Adapter weitergeleitet.

- 313 • RAD-69
 - 314 ○ RetrievalImagingDocumentSet

315 Die **Schnittstelle „D“** liegt nicht im Wirkungsbereich des BeS, demnach kann aus Sicht der
 316 vorliegenden Architektur keine Vorgabe definiert oder ausgesprochen werden. Die erwarteten
 317 Schnittstellen sind von den spezifischen Fähigkeiten der einzelnen Archive abhängig und
 318 mit dem Hersteller des bereichsspezifischen Adapters abzustimmen. Auch hinsichtlich eventu-
 319uell notwendiger Adapter kann auf dieser Ebene keine Aussage getroffen werden.

320 Abbildung 4 zeigt die teilnehmenden Komponenten in einer höheren Granularität. Die derzeitige
 321 AGW muss neben einer ZGF-Instanz auch eine ZGF-I Instanz integrieren. Beide nehmen
 322 an der Abwicklung der Bilddatenübertragung teil, indem über die ZGF das KOS-Objekt
 323 angefordert wird und über die ZGF-I die im KOS referenzierten Bilddaten.

324



325

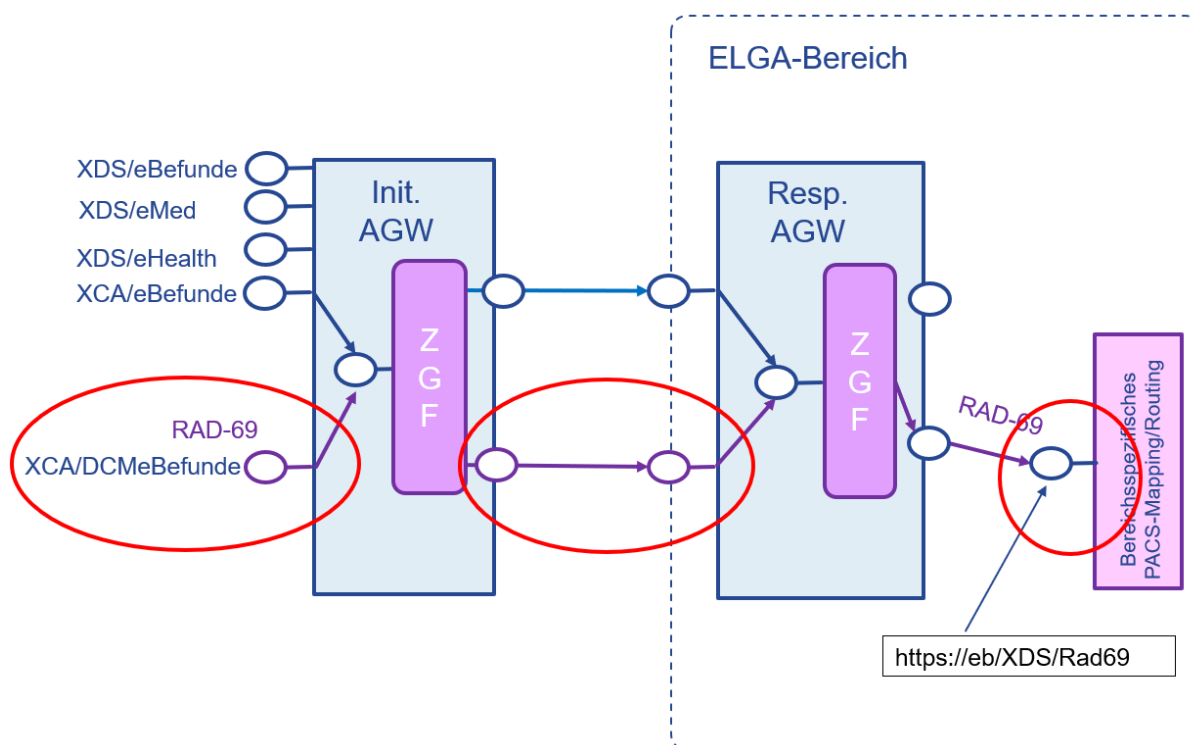
326 *Abbildung 4: ZGF-I Basisarchitektur. „Retrieve KOS“ bezeichnet die Anfrage für ein KOS-Ob-*
 327 *jekt in verschiedenen Formaten (DICOM und JSON). Die Darstellung der rechts im Bild ange-*
 328 *führten Adapter ist symbolisch, da eventuell auch eine direkte Kommunikation mit dem Ar-*
 329 *chiv möglich ist.*

330 1.6.3.3. Netzwerkverbindungen für RAD-69 und https-Streaming

331 Wie in Abbildung 4 schon deutlich hervorgehoben, kann die eigentliche Bilddatenübertra-
 332 gung über bereits existierende Breitbandverbindungen ermöglicht werden. Dafür muss die
 333 dafür derzeit vorgesehene [RAD-69] Transaktion über eigene AGW-Endpunkte geführt wer-
 334 den. Dadurch ergibt sich die Möglichkeit bei Bedarf für diese Übertragungen dedizierte Lei-
 335 tungen zu verwenden. Eine entsprechende Skizze wird in Abbildung 5 dargestellt.

336 Darüber hinaus müssen für e-Befunde geltende ModSecurity-Größenlimits (derzeit auf 25
 337 Mbyte gesetzt) außer Kraft gesetzt werden. Eine nahtlose Übertragung von größeren Stu-
 338 dien/Serien muss via https-Streaming (bei AGW zu AGW) ermöglicht werden. Diese Lösung
 339 verspricht keine negativen Auswirkungen bei den Konsumenten, da diese gar nicht wissen
 340 müssen, dass das angefragte Bildmaterial gestreamt wird. Nach Einführung (Inbetrieb-
 341 nahme) des AGW-Streamings bedarf der bereichsspezifische Adapter keiner Umbauten. Es
 342 ist dennoch empfehlenswert, dass der Adapter selbst diese (Streaming) Fähigkeiten an-
 343 nimmt. Live-Streaming wird jedoch nicht implementiert, sprich der Konsument muss das her-
 344 untergeladene Bildmaterial vor der Darstellung komplett empfangen.

345 Um einen stabilen Betrieb zu gewährleisten, muss die notwendige Bandbreite der Bilddaten-
 346 Übertragungswege auf der Grundlage von Erfahrungswerten angepasst werden. Auf Basis
 347 bisheriger Erfahrungswerte aus dem HeX-I-Projekt und als Folge der Schätzungen für die
 348 künftige Auslastung, werden als Minimum durchgehend (vom Consumer zur Source) zumin-
 349 dest 1Gbit angesehen und erfordert.



350

351 *Abbildung 5: Skizze von für RAD-69 angeforderten netzwerktechnischen Verbindungen am*
 352 *initiiierenden und antwortenden AGW (rot eingekreist)*

353 1.6.4. Spezifikation des bereichsspezifischen Adapters

354 Der bereichsspezifische Adapter (eine Komponente pro Bereich) dient als Bindeglied zwi-
 355 schen ZGF-I und den einzelnen angebotenen PACS/DICOM-Archiven. Der bereichsspezifi-
 356 sche Adapter ist keine Sicherheitskomponente und darf ausschließlich vom ZGF-I weiterge-
 357 leitete Nachrichten erhalten und verarbeiten.

358 Der bereichsspezifische Adapter lokalisiert und adressiert (via Konfiguration) die einzelnen
 359 angebotenen PACS/DICOM- Archive. Die primäre Aufgabe eines bereichsspezifischen
 360 Adapters ist die Wegfindung (unterstützte Protokolle/Schnittstellen) zu den tatsächlichen Ar-
 361 chiven.

362 1.6.5. Autorisierung, Zugriffseinschränkungen und Protokollierung

363 1.6.5.1. Allgemeines

364 Die Autorisierung der ELGA-Zugriffe erfolgt grundsätzlich entsprechend der ELGA-Gesamt-
 365 architektur via WS-Trust Tokens. Dies gilt für alle Imaging-Anfragen. Imaging Document
 366 Consumer in ELGA-GDA Rollen müssen verbindlich eine ELGA HCP-Assertion, in der Rolle
 367 ELGA-Teilnehmer eine ELGA User-Assertion I (in Vertretung eines ELGA-Teilnehmers eine
 368 ELGA Mandate-Assertion I) dem BeS präsentieren.

- 369 ■ SOAP-Zugriffe sind ausnahmslos via ELGA SAML2 Token zu autorisieren.
- 370 ■ Zugriffe der Client-Akteure über FHIR/REST
- 371 ■ Als Übergangslösung können ELGA SAML2-Tokens im https Authorization-Header
- 372 transportiert werden. Eine Übergangslösung stützt sich an die existierende WS-Trust
- 373 Infrastruktur des Berechtigungssystems.
- 374 ■ Langfristig müssen Autorisierungen über JSON Web Tokens (JWT) erfolgen (Open
- 375 ID Connect als Richtlinie ist anzuwenden).

376 Bei XCA-I ([RAD-75]) müssen alle Imaging-Requests über eine ELGA Treatment Imaging-
 377 Assertion verfügen. Von der antwortenden ZGF-I zum bereichsspezifischen Adapter sind alle
 378 Requests mit einer üblichen ELGA-Community-Assertion auszustatten. Die Autorisierung der
 379 Anfragen auf dem weiteren Weg zu den PACS ist interne Angelegenheit des Bereiches.

380 1.6.5.2. ZGF KOS-Cache

381 Die initiiierende ZGF-I muss gewährleisten, dass nur auf jenes Bildmaterial zugegriffen wer-
 382 den kann, das in einem vorher autorisierten [ITI-43] Abruf eines KOS-Objektes referenziert
 383 ist. Dementsprechend muss die initiiierende ZGF in Zusammenarbeit mit der initiiierenden
 384 ZGF-I die im KOS-Objekt enthaltenen Informationen sicher zwischenspeichern (Cache). Aus-
 385 gehend von der derzeitigen Ausführung der AGW/ZGF kann die Dauer von zwischengespei-
 386 cherten KOS-Daten auf 30 Minuten (konfigurierbar) beschränkt werden. Um eventuelle Up-
 387 dates, die in diesem Zeitraum stattgefunden haben, abfangen zu können, muss der Imaging
 388 Document Consumer eine neue, explizite KOS-Query Anfrage starten, womit die im Cache
 389 aufgehobene Informationen mit dem aktuellen Stand überschrieben werden.

390 Darüber hinaus müssen die zwischengespeicherten Daten des KOS-Objekts an einen ein-
 391 deutig identifizierbaren ELGA-Token (HCP-Assertion, User-Assertion I bzw. Mandate-Asser-
 392 tion I) gebunden werden. Bilddaten können nur mit derselben Assertion geladen werden, die
 393 auch für das Retrieval des KOS-Objektes verwendet wurde. Damit muss die initiiierende
 394 ZGF-I garantieren, dass nur jener Akteur auf die Bilddaten zugreifen kann, dem zeitnah (im
 395 Zeitraum von 30 Minuten – nach Praxiserfordernis konfigurierbar) das entsprechende KOS-
 396 Objekt aushändigt wurde. Falls nach Ablauf dieser Frist die Bilder noch nicht geholt wurden,
 397 muss der Client einen Refresh anstoßen – also das KOS noch einmal laden – um wieder Zu-
 398 griff auf die Bilddaten zu erhalten. Die Lebensdauer des Cache muss den Softwareherstel-
 399 lern bekanntgegeben werden, um die entsprechende Logik umzusetzen.

400 Die Absicherung des KOS-Cache, der Treatment Imaging-Assertion und die Verknüpfung
 401 deren Inhalte mit dem entsprechenden ELGA-Token erfordern einen Integritätsschutz durch
 402 kryptografische Maßnahmen (Verschlüsselung).

403 Alle von einem Imaging Document Consumer ausgehenden Zugriffe müssen im Security-
404 Header wie üblich nur eine ELGA Login-Assertion (HCP-Assertion, User-Assertion I bzw.
405 Mandate-Assertion I) mitführen. Der initiiierende Teil der ZGF-I entscheidet basierend auf die-
406 ser Grundlage, ob die Anforderung rechtmäßig ist. Die präsentierte ELGA-Assertion muss
407 mit jener im gesicherten KOS-Cache mitgeführten übereinstimmen. Diese Maßnahme soll
408 verhindern, dass durch unbeabsichtigte oder bewusste Weitergabe von Informationen, die in
409 einem KOS-Objekt enthalten sind, nicht autorisierte Benutzer auf die Bilddaten zugreifen
410 können.

411 Sollte der ELGA-Teilnehmer das KOS-Objekt ausgeblendet oder gelöscht haben, kann der
412 GDA das im KOS-Objekt referenzierte Bildmaterial nicht anfragen. Die ZGF-I muss all jene
413 Anfragen abweisen, die ohne zeitnah erfolgreich abgeholtes KOS-Objekt erfolgen.

414 Dadurch ist der KOS-Cache neben den regulären ELGA-Tokens (wie einer HCP-Assertion)
415 ein unentbehrliches Mittel zur Umsetzung der Zugriffsautorisierung. Der Zugang zu den Bild-
416 daten ist für ein vertretbares Zeitfenster limitiert. Sollte ein Imaging-Zugriff außerhalb des an-
417 geführten Zeitlimits erfolgen, signalisiert die ZGF-I das Fehlen entsprechender Autorisie-
418 rungsinformationen im KOS-Cache. Der Imaging Document Consumer muss in diesem Fall
419 das zugrundeliegende KOS-Objekt erneut anfordern.

420 1.6.5.3. ELGA Treatment Imaging-Assertion

421 KOS-Objekte referenzieren prinzipiell auf eine durch Serien und Studien zusammengefasste
422 Menge von Bilddateninstanzen. Einem Akteur steht frei, die Instanzen entweder blockweise
423 oder auch einzeln abzufragen. Nach derzeitigem Stand der ELGA-Architektur, muss jeder
424 einzelne Request basierend auf einer ELGA Treatment-Assertion autorisiert werden. Das
425 Ausstellen eines Tokens ist eine zeitaufwendige kryptografische Operation. WS-Trust erlaubt
426 hingegen einen bestehenden Token im Rahmen dessen Gültigkeit wiederzuverwenden. Hier-
427 für muss die ZGF-I beim ersten berechtigten Zugriff auf das KOS-Objekt vom ETS auch eine
428 der HCP-Assertion entsprechende ELGA Treatment Imaging-Assertion anfordern. Die Gültig-
429 keit der Treatment Imaging-Assertion muss mit dem KOS-Cache korrespondieren. Wenn der
430 Gültigkeitszeitraum des KOS-Cache 30 Minuten beträgt, dann muss die ZGF die Treatment
431 Imaging-Assertions vom ETS für 30 Minuten beantragen. Die angeforderte Assertion muss
432 im Cache durch kryptografische Maßnahmen gesichert, für nicht berechnete unerschbar,
433 aufgehoben werden.

434 1.6.5.4. Confidentiality & Integrity

435 Zwischengespeicherte Treatment Imaging-Assertions müssen kryptografisch gesichert wer-
436 den. Die Assertions sind ausnahmslos verschlüsselt in der ZGF-I zu halten bzw. zwischen
437 den geclusterten ZGF-I Instanzen zu synchronisieren. Der symmetrische AES-Schlüssel

438 muss mit einem asymmetrischen Verschlüsselungsverfahren anhand des von der Core-PKI
 439 bezogenen Zertifikats geschützt werden. Der Integritätsschutz des KOS-Cache (via Message
 440 Authentication Code) muss ebenfalls auf Grundlage von Core-PKI Zertifikaten erfolgen. Die
 441 Implementierung dieser Mechanismen erfolgt innerhalb der AGWs.

442 Optional, je nach Entscheidung der Betriebsführung und der Bereichs-CISOs, sind Schlüs-
 443 selmaterial und Zertifikate mit HSM-Modulen zu schützen. Nur dem BeS ist es erlaubt, diese
 444 Hardwarestores zu lesen.

445 1.6.5.5. Protokollierung

446 Sämtliche KOS-Objekt- und Imaging-Zugriffe sind in den bereichsspezifischen L-ARR ent-
 447 sprechend IHE ATNA-Profil zu protokollieren. Zugriffe auf KOS-Objekte sind auch im A-ARR
 448 zu vermerken. Dadurch sind etwaige GDA-Zugriffe auf Bilddaten für ELGA-Teilnehmer trans-
 449 parent zu halten. Zugriffe auf einzelne, innerhalb der KOS-Objekte referenzierte Instanzen
 450 der Bilddaten müssen im A-ARR nicht protokolliert werden:

- 451 1. Der Anker für den Zugriff auf Bilddaten ist das KOS-Objekt. Wird das KOS-Objekt
 452 dem GDA zugänglich gemacht, kann im KOS-Objekt referenziertes Bildmaterial un-
 453 eingeschränkt angefordert werden.
- 454 2. ELGA-Teilnehmer können den Zugang zu Bildmaterial durch das Ausblenden bzw.
 455 Löschen von KOS-Objekten steuern.
- 456 3. Die potenziell große Anzahl der im KOS-Objekt referenzierten Bilddaten würde die
 457 Protokollierung für den ELGA-Teilnehmer unübersichtlich gestalten, ohne dabei einen
 458 essenziellen Mehrwert zu liefern.

459 Um dennoch RAD-69 Zugriffe zu protokollieren, müsste wie folgt vorgegangen werden:

- 460 ■ Für RAD-68 muss ein neuer **BeS** Event-Code eingeführt werden „Bilddaten veröffent-
 461 licht“. Beim Einlesen (Laden via ITI-43) von KOS-Objekten muss ein weiterer neuer
 462 Event-Code eingeführt werden „Bilddaten abgerufen“.
- 463 ■ Bei RAD-69 müssen zwei neue **BeS** Event-Codes eingeführt werden
 - 464 ■ DICOM Zugriff gestartet – beim ersten RAD-69 Zugriff im aktuellen KOS-Kontext
 - 465 ■ DICOM Zugriff fortgesetzt – beim zweiten RAD-69 Zugriff in aktuellen KOS-Kontext
 - 466 ■ Weitere RAD-69 Zugriffe im gleichen KOS-Kontext müssen zentral nicht protokolliert
 467 werden. Dies wird dadurch begründet, dass anhand der im KOS angeführten Stu-
 468 dien/Serien theoretisch auch hunderte und tausende Zugriffe erfolgen, welche proto-
 469 kolltechnisch eher lokal (L-ARR) und auf der DICOM-Ebene zu verfolgen sind
- 470 ■ Im lokalen L-ARR müssen alle Transaktionen (RAD-68, 69) entsprechend bisher gelten-
 471 den Protokollierungsrichtlinien (siehe in [2] und [5]) protokolliert werden.

472 ■ Im zentralen Z-L-ARR wird entsprechend BeS-Pflichtenheft ([5]) RAD-68 und RAD-69
473 (beim Ausstellen der Imaging Treatment-Assertion) protokolliert.

474 ■ Im A-ARR wird nur RAD-68 mitprotokolliert, nicht aber RAD-69.

475 *Anmerkung: Es gibt noch laufende Diskussionen zur Protokollierung der Bildzugriffe. Aktuell*
476 *ist nur die Protokollierung auf Ebene der KOS-Objekte implementiert.*

477 **1.6.6. Beispielhaftes Veröffentlichen von DICOM-Studien/Serien in ELGA**

478 Es wird angenommen, dass ein ELGA-Teilnehmer mit Mitteln der bildgebenden Diagnostik
479 untersucht wird. Es wurde bereits eine Kontaktbestätigung ins KBS geschickt. Im Rahmen
480 der Untersuchung entsteht eine DICOM-Studie, die mehrere DICOM-Serien umfasst und im
481 dafür bestimmten lokalen PACS-Archiv gespeichert wird (außerhalb von ELGA). Das Archiv
482 ist via bereichsspezifischen Adapter (Abbildung 4) an eine ELGA ZGF-I angeschlossen. An-
483 schließend wird ein DICOM KOS-Objekt erstellt.

484 Sofern der ELGA-Teilnehmer über den Z-PI eindeutig identifiziert wurde und keine individu-
485 elle Policy dies verhindert, kann das KOS-Objekt in ELGA veröffentlicht werden. Dies erfolgt
486 manuell oder automatisch als Teil einer eventuellen Batch-Prozedur. Hierfür muss das zu-
487 ständige KIS/RIS/PACS-System (GDA) via RAD-68 das KOS-Objekt in ein ELGA-Repository
488 speichern und registrieren.

489 Für die Veröffentlichung eines KOS-Objekts in ELGA sind eine gültige ELGA HCP-Assertion
490 und eine Kontaktbestätigung notwendig. Für die Registrierung des KOS-Objekts sind be-
491 stimmte Metadaten verbindlich anzugeben. Insbesondere (siehe auch XDS-I Metadaten für
492 Bilddaten in [3] und [4]):

493 ■ Verschlagwortung entsprechend APPC-Codesystem

494 Die eigentliche Registrierung in ELGA erfolgt, wie für Befund-CDA bereits etabliert, im ange-
495 bundenen ELGA-Bereich. Sollten individuell gesetzte Berechtigungen der Veröffentlichung
496 widersprechen, wird das Speichern (Bereichsvariante **A**) bzw. das Registrieren (Bereichs-
497 variante **C**) in ELGA zurückgewiesen.

498 Nachdem das Registrieren des KOS-Objektes in ELGA erfolgreich abgeschlossen wurde,
499 können die darin referenzierten Bilddaten in ELGA abgerufen werden.

500 Wenn das Registrieren des KOS-Objektes in ELGA erfolgreich abgeschlossen ist, wird für
501 weitere beispielhafte Szenarien angenommen, dass die Befundung bei einem anderen
502 ELGA-GDA stattfindet. Für diesen, in die Behandlung einbezogenen ELGA-GDA, wird ein
503 Kontakt des ELGA-Teilnehmers delegiert.

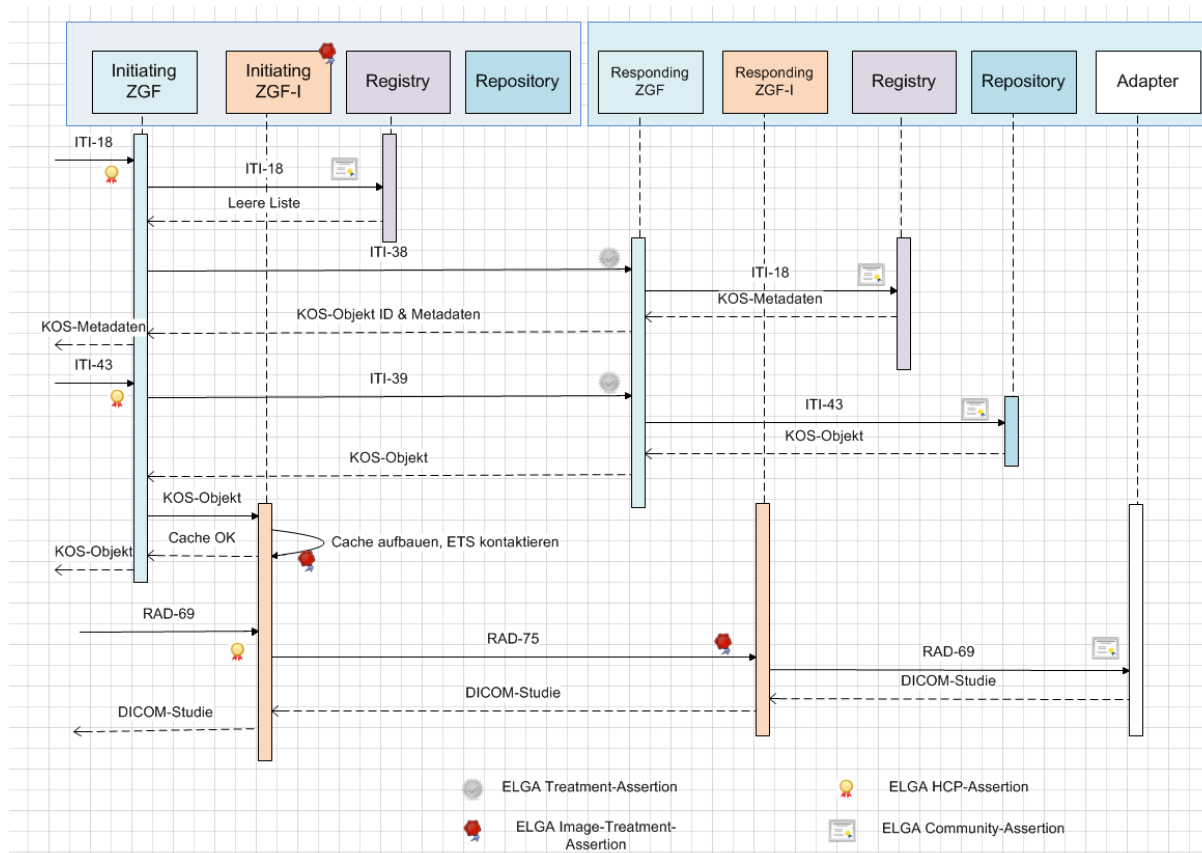
504 **1.6.7. Beispiel Sequenz „DICOM Studie herunterladen“**

505 Die Befundung des im Beispiel oben angeführten Bildmaterials erfolgt durch einen anderen
 506 GDA in einem zweiten ELGA-Bereich. Hierzu delegiert der GDA des ersten ELGA-Bereichs
 507 seine Kontaktbestätigung für den betroffenen ELGA-Teilnehmer an den GDA des zweiten
 508 ELGA-Bereichs. Die Studie ist zum Beispiel nicht älter als 10 Tage (für dieses Szenario will-
 509 kürlich gewähltes Zeitfenster).

510 *Anmerkung: Dieses Szenario könnte nicht funktionieren, wenn der Patient eine individuelle*
 511 *Einschränkung (z.B. GDA ist gesperrt) eingebracht hat.*

512 Der GDA des zweiten ELGA-Bereichs ist authentifiziert und in ELGA angemeldet. Das ent-
 513 sprechende KIS-System besitzt eine gültige ELGA HCP-Assertion. Er sucht nach Dokumen-
 514 ten in ELGA (via KIS-System), wobei als Suchkriterien die konkrete Dokumentenklasse des
 515 KOS-Objektes und ein Erstellungszeitraum für die letzten 10 Tage, entsprechend des vorab
 516 dem GDA mitgeteilten Wissens, festgelegt wird (siehe Abbildung 6).

517



519 *Abbildung 6: Zugriff auf eine DICOM-Studie*

- 520 1. Der GDA setzt (via KIS-System) ein *Registry Stored Query* ([ITI-18]) mit obigen Such-
 521 kriterien ab. Die Anfrage wird anhand einer gültigen HCP-Assertion autorisiert. Die
 522 Anfrage wird über das bereichseigene AGW der initiiierenden ZGF weitergeleitet.
- 523 2. Die initiiierende ZGF erhält - kommunizierend mit dem ETS - die Community IDs und
 524 Treatment-Assertions für jene ELGA-Bereiche, die potenziell Gesundheitsdaten des
 525 ELGA-Teilnehmers führen.
- 526 3. Die initiiierende ZGF stellt Anfragen **bereichsintern** sowie **bereichsübergreifend** an
 527 die Registries der entsprechenden ELGA-Zielbereiche. Die Antworten der einzelnen
 528 ELGA-Bereiche werden (durch die Responding ZGFs) entsprechend der individuellen
 529 Berechtigungen des ELGA-Teilnehmers (XACML Response-Policies) gefiltert. Im Fol-
 530 genden wird angenommen, dass das gesuchte KOS-Objekt in einem **entfernten**
 531 ELGA-Bereich gefunden wurde und es in ELGA weder ausgeblendet noch gelöscht
 532 wurde.
- 533 4. Die initiiierende ZGF sendet nun basierend auf den Suchkriterien des GDAs entspre-
 534 chende Dokument-Metadaten (des KOS-Objekts) dem KIS-System zurück (siehe
 535 Rückgabe von *KOS-Objekt-ID* in der Abbildung 6).
- 536 5. Ausgehend von Informationen der erhaltenen Dokument-Metadaten fordert der GDA
 537 das DICOM KOS-Objekt im Originalformat via *Retrieve Document Set* ([ITI-43]) an.
 538 Hierfür ist im Security-Header eine HCP-Assertion eingebettet. Die initiiierende ZGF
 539 setzt die Anfrage als *Cross Gateway Retrieve* ([ITI-39]) um und versieht den Security-
 540 Header wie üblich mit einer ELGA Treatment-Assertion.
- 541 6. Die antwortende ZGF verifiziert die Treatment-Assertion und holt das KOS-Objekt
 542 vom entsprechenden Repository. Sind laut Assertion keine individuellen Berechti-
 543 gungsregeln anzuwenden, die dies untersagen, übersendet die antwortende ZGF das
 544 angeforderte KOS-Objekt der initiiierenden ZGF.
- 545 7. Die initiiierende ZGF übermittelt nun das KOS-Objekt an die ZGF-I, um die Informatio-
 546 nen im KOS-Cache integritätsgeschützt abzulegen. ZGF-I berechnet und erstellt ein
 547 Message Authentication Code (MAC) über den KOS-Cache-Kontext der mit der HCP-
 548 Assertion des GDA fest verbunden wird. Es wird zusätzlich eine Treatment Imaging-
 549 Assertion zur bekannten HCP-Assertion angefordert und sicher (verschlüsselt) im
 550 Cache abgelegt.
- 551 8. Der GDA empfängt als Resultat der *Retrieve Document Set* Abfrage das DICOM
 552 KOS-Objekt. Das KIS-System identifiziert und selektiert aus dem KOS-Objekt die ge-
 553 wünschte Studie/Serie.

- 554 9. Der GDA setzt nun eine RAD-69 Anfrage über die bereichsinterne AGW an die initiie-
 555 renden ZGF-I ab. Im Security-Header ist wie üblich eine ELGA HCP-Assertion ange-
 556 führt.
- 557 10. Die initiiierende ZGF-I empfängt die RAD-69 Anfrage und verifiziert die HCP-Asser-
 558 tion. Die Anfrage darf nur auf jene Image-Instanzen referenzieren, die im KOS-Cache
 559 bereits vermerkt sind und im Kontext der gegebenen HCP-Assertion sind. Dadurch
 560 wird sichergestellt, dass nur jene GDA die Anfrage stellen dürfen, an die das KOS-
 561 Objekt geliefert wurde.
- 562 11. Die initiiierende ZGF-I sucht im internen Cache nach einer korrespondierenden ELGA
 563 Treatment Imaging-Assertion. Die ZGF-I erstellt nun anhand des zwischengespei-
 564 cherten Patientenkontexts eine bereichsübergreifende RAD-75 Anfrage an die Res-
 565 ponding ZGF-I des Zielbereichs. Die RAD-75 wird via ELGA Treatment Imaging-As-
 566 sertation autorisiert.
- 567 12. Die antwortende ZGF-I empfängt die RAD-75 und verifiziert die Assertion gemäß der
 568 in ELGA allgemein gültigen Verifizierungsregeln. Im Unterschied zu sonstigen regulä-
 569 ren ITI-Anfragen, greifen im Falle von RAD-75 die individuellen Policies nicht. Dies
 570 entfällt aufgrund der bereits im Vorfeld (beim Abholen des KOS-Objekts) rigoros
 571 durchgeführten Auswertung der individuellen Berechtigungen.
- 572 13. Die antwortende ZGF-I münzt nun RAD-75 auf RAD-69 um und schickt die Anfrage,
 573 versehen mit einer Community Imaging-Assertion, an den zuständigen bereichsspezi-
 574 fischen Adapter.
- 575 14. Der bereichsspezifische Adapter empfängt die RAD-69, und verbindet sich mit dem
 576 per Vorkonfiguration eingerichteten lokalen PACS-Adapter. Der Request ist wie vor-
 577 her mit einer ELGA Community-Assertion ausgestattet. Das angesprochene PACS-
 578 Archiv retourniert die angefragten Daten an den Adapter.
- 579 15. Die antwortende ZGF-I sendet das Resultat entweder synchron oder in Form eines
 580 kontinuierlichen Streams zurück.

581 **1.6.8. Kopplung von Befunden mit Bilddaten**

582 Es wird davon ausgegangen, dass im Allgemeinen jegliche Bilddaten (KOS-Objekte und Be-
 583 funde/CDA) via *referenceIdList* aufeinander referenzieren können, und zwar in einer N:M Be-
 584 ziehung.

585 Die Referenzierung wird über die Accession Number hergestellt. Der Datentyp entspricht CXi
 586 und enthält keine *Home Community ID*.

587 ■ **Accession Number** mit dem Datentyp: urn:ihe:iti:xds:2013:accession

588 Es muss davon ausgegangen werden, dass Befund und KOS auf unterschiedliche Wege und
589 zu unterschiedlichen Zeitpunkten entstehen und referenziert werden können. Es muss aber
590 bei der Veröffentlichung von KOS-Objekten (via RAD-68) in die *referenceIdList* des KOS die
591 *Accession Number* eingefügt werden. Das BeS muss eine Überprüfung durchführen, und
592 wenn die *Accession Number* in den Metadaten *referenceIdList* fehlt, muss die RAD-68
593 Transaktion abgelehnt werden.

594 Darüber hinaus muss vermerkt werden, dass mehrere KOS-Objekte die gleiche *Accession*
595 *Number* haben können. Ein e-Befund CDA kann somit gesehen auf 0 bis n beliebige KOS
596 zeigen (referenzieren).

597 Um die Suche nach referenzierten Dokumenten zu erleichtern bzw. im Sinne der Effizienz
598 sollte das BeS die *Registry Stored Query* [ITI-18] Option *FindDocumentsByReferenceIdList*
599 unterstützen (derzeit nicht umgesetzt).

600 **1.6.9. Versionierung**

601 Für die **Versionierung** von KOS-Objekten wird die bisherige Praxis beibehalten. Im CXi-
602 Wert wird *ownDocument_setId* geführt, sowie *Home Community ID*. Es ist jedoch wichtig an-
603 zumerken, dass im KOS keine *setId* vorhanden ist (wie etwa bei CDA). Daher ist eine andere
604 eindeutige ID zu verwenden.

605 **1.6.10. APPC**

606 Es muss davon ausgegangen werden, dass Befund und KOS auf verschiedenen Wegen und
607 zu verschiedenen Zeiten entstehen. Der APPC wird unter Umständen von verschiedenen In-
608 stanzen ermittelt, daher ist es möglich, dass KOS und Befund nicht die gleichen APPCs ent-
609 halten.

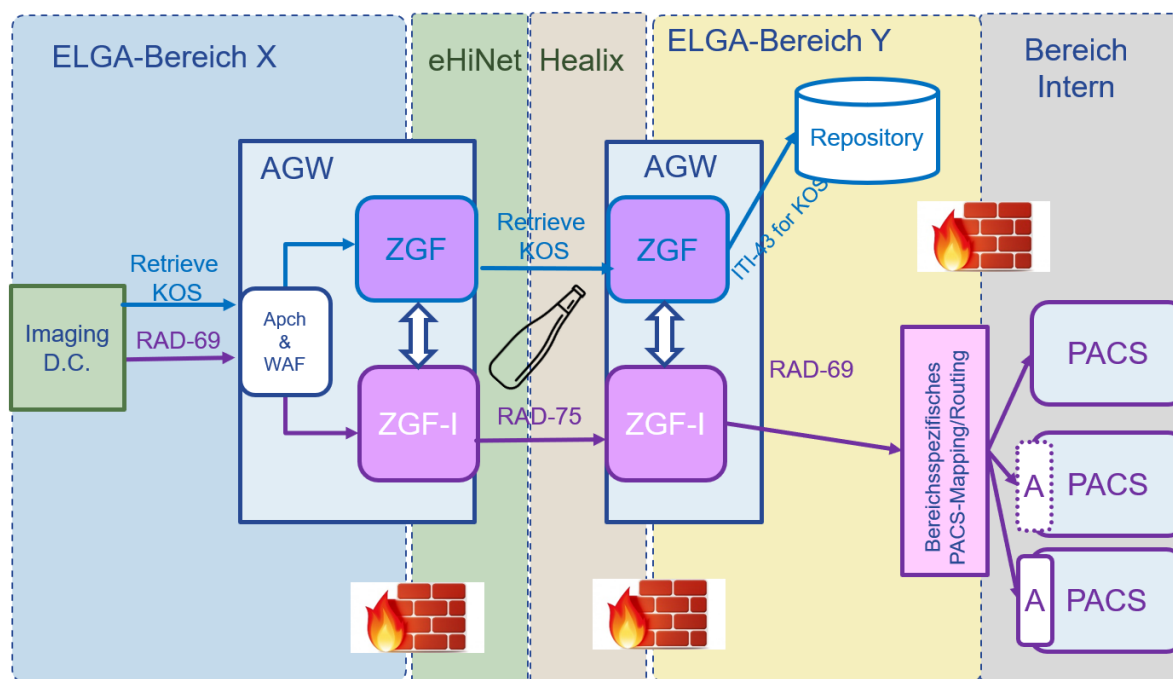
610 Bei der Veröffentlichung (via RAD-68) von KOS-Objekten muss jedoch in den Metadaten
611 *eventCodeList* entsprechend Metadaten-Leitfaden [3] bzw. [4] zumindest ein APPC-Code
612 eingefügt werden. Das BeS muss den APPC prüfen und wenn kein APPC in *eventCodeList*
613 eingefügt ist, dann muss die RAD-68 Transaktion vom BeS abgelehnt werden. Es können
614 auch mehrere APPC angeführt werden.

615

616 **1.7. Erweiterung der Architektur**

617 Die technologische Entwicklung und das Fortschreiten der Standardisierung erlauben neue
 618 Bilddaten-Übertragungskonzepte. Hierbei ist insbesondere das IHE WIA-Profil [6] hervorzu-
 619 heben, das, wie im Titel auch erfasst, das Internet (das Web) für die Übertragung postuliert.
 620 Dennoch kann diese Technologie auch in den gesicherten Gesundheitsnetzen genutzt wer-
 621 den. In den weiteren Abschnitten wird die daraus folgende Architektur erörtert.

622 **1.7.1. Fragmentierte Natur der Gesundheitsnetzwerke**



623

624 *Abbildung 7: Fragmentierte Gesundheitsnetzwerke*

625 Wie obige Abbildung hervorzuheben versucht, ist die historisch gewachsene Fragmentierung
 626 der Gesundheitsnetzwerke zu berücksichtigen, da diese Landschaft eine große Herausforderung
 627 für die Einführung von Point-to-Point Internet-Protokollen (REST), darstellt. Insbeson-
 628 dere für den Übergang zwischen eHi-Net und HEALIX waren bisher keine großen Bandbrei-
 629 ten notwendig – das ändert sich mit der Übertragung von Bilddaten.

630 Einen potenziellen „Flaschenhals“ (siehe Abb. 7) stellt die Kopplung zwischen den Gesund-
 631 heitsnetzen am Peering Point dar, der aktuell mit ca. 500 Mbit/s synchron ausgebaut ist. Da
 632 trotz Pilotierungen in verschiedenen Szenarien belastbare Zahlen zur erwartbaren Gesamt-
 633 last fehlen, muss man sich in Hinblick auf tatsächlich benötigte Bandbreiten annähern. Als
 634 Ausgangsbandbreite wird aus den Erfahrungen der bisherigen Pilotierungen 1Gbit/s als er-
 635 forderliche Bandbreite für Bilddatenübermittlung an der Kopplung der Gesundheitsnetze
 636 (eHI, HEALIX) definiert. Zusätzlich ist an Netzübergängen bzw. vom Document-Consumer

637 bis zur Document-Source ein abgestimmtes und durchgängiges QoS (Quality of Service) zu
638 etablieren, um anderen Netzwerktraffic im Falle von Kapazitätsengpässen entsprechend den
639 Anforderungen zu bewerkstelligen. Pakete mit Bilddaten werden Netzwerktechnisch entspre-
640 chend markiert. An den Netzkopplungen obliegt die Verantwortung der Implementierung den
641 Betreibern der Gesundheitsnetze.

642 Auf der Last-Mile ist der GDA dafür verantwortlich, diese QoS durch seinen Provider imple-
643 mentieren zu lassen. Auch die Anschlussbandbreite der Last-Mile obliegt dem Document-
644 Consumer bzw. der Document-Source in Abhängigkeit zu seinen konsumierten bzw. ange-
645 botenen Diensten.

646 Es ist bekannt, dass das REST-Protokoll, das sowohl dem FHIR-Standard von HL7 als auch
647 dem DICOMweb-Standard zugrunde liegt, nur bei direkten Punkt-zu-Punkt-Verbindungen
648 sein volles Potenzial entfalten kann (siehe hierfür auch die IHE WIA-Profile [6]). Der Einsatz
649 dieses Protokolls in fragmentierten Netzwerken, insbesondere mit AGW-Bausteinen, stellt
650 eine Herausforderung dar und beinhaltet einige Hindernisse bei den einzelnen Netzübergän-
651 gen (etwa verpflichtende TLS-Terminierungen, Mapping von Endpunkten). Es spricht jedoch
652 nichts gegen eine alternative Implementierung in den gesicherten Gesundheitsnetzwerken
653 ohne die herkömmlichen AGW. Siehe weitere Ausführungen in den nachfolgenden Kapiteln.

654 **1.7.2. Gründe für die Erweiterung auf IHE WIA**

655 Zusätzlich zu den netzwerktechnischen Überlegungen, führt auch die Tatsache, dass RAD-
656 69 ausschließlich die Übertragung von Bilddaten in originaler Qualität und im DICOM-Format
657 zulässt, zu weiteren Herausforderungen. In Anwendungsfällen, wo kein DICOM-Viewer be-
658 reitsteht (z.B. bestimmte Zuweiser, oder das ELGA-Bürgerportal), stellt RAD-69 keine realis-
659 tische Option dar.

660 2017 wurde der erste Draft des IHE Integrationsprofils Web-based Image Access (WIA) ver-
661 öffentlicht. Ziel dieses Profils ist, den einrichtungsübergreifenden Zugriff auf Bilddaten über
662 DICOMweb niederschwellig zu ermöglichen. Eine Übertragung von komprimiertem Bildmate-
663 rial in Formaten, die auch in einem Standard-Browser dargestellt werden können, ist per
664 Default vorgesehen. Passenderweise für ELGA, wurde im Zuge der Weiterentwicklung des
665 Integrationsprofils auch ein Anwendungsfall detailliert, der im Backend eine XDS-I Infrastruk-
666 tur verortet. Darauf aufbauend beschreibt das nächste Kapitel die Erweiterung der Architek-
667 tur.

668 **1.8. IHE WIA Architektur im abgesicherten Netzwerk**

669 Eine alternative Lösungsarchitektur in den abgesicherten Gesundheitsnetzen (siehe Abbil-
670 dung 8) beruht auf der Wiederverwendung der bereits existierenden und etablierten Autori-
671 sierungsprotokolle von WS-Trust via SAML2 und ETS. Die Abfrage des Bildmaterials läuft
672 entsprechend WIA-Profil Use Case #4 [6].

673 Im ersten Schritt setzt der Imaging Document Consumer (IDC) Akteur (GDA) eine QIDO-RS
674 Abfrage an einen zentralen QIDO-RS Endpunkt (siehe 1.8.2) und holt sich damit **indirekt**,
675 mittels QIDO-as-a-Service Komponente (QIDOaaS), ein oder mehrere KOS ab. QIDOaaS
676 muss die in den KOS-Objekten enthaltenen Informationen nachbearbeiten (formatieren) und
677 die erreichbaren WADO-RS Endpunkte in die Antwort einfügen. Die vom QIDOaaS abgehol-
678 ten KOS-Objekte werden zusätzlich in einem zentralen KOS-Cache (vgl. 1.6.5.3) aufgehoben
679 (Studien, Serien, SOP-Instance ID) und für spätere WADO-RS Anfragen der WADO-
680 Service-Facade (WADO-SF) zur Verfügung gestellt. Bei einem nachfolgenden WADO-RS
681 Zugriff wird nämlich die Zulässigkeit der Abfrage mit dem im KOS-Cache vorhandenen Infor-
682 mationen abgeglichen (exakt wie bei XCA-I). Nur jene SOP-Instanzen dürfen abgefragt wer-
683 den, die in den im KOS-Cache aufgehobenen KOS-Objekten auch gelistet sind.

684 Die UML-Sequenz der Zugriffe ist in der Abbildung 9 dargestellt. Vorbedingung für die Durch-
685 führung der QIDO-RS und WADO-RS Abfragen ist der Besitz einer gültigen HCP-Assertion.
686 In der abgebildeten Zugriffs-Variante beantragt die QIDOaaS eine entsprechende Treatment-
687 Assertion mit der gültigen HCP-Assertion.

688 **1.8.1. QIDO Service Facade (QIDO-SF)**

689 Eine QIDO-SF ist ein dezentral laufender Teil des Berechtigungssystems und dient als vor-
690 geschalteter Schutz vor der entsprechenden QIDOaaS-Komponente (siehe 1.8.2). Sie vali-
691 diert herankommende QIDO-RS Anfragen und deren Authorization-Assertions auf Gültigkeit.
692 Anonyme Anfragen oder Anfragen mit ungültigen SAML-Assertions müssen abgewiesen
693 werden.

694 Wenn im Authorization-Header der Anfrage eine gültige und validierte HCP-Assertion (oder
695 User I Assertion) angeführt ist, dann wird die Anfrage an die QIDOaaS-Komponente weiter-
696 geleitet. Im Authorization-Header wird die empfangene HCP-Assertion eingebettet. Die
697 QIDOaaS-Komponente verwendet sie und setzt damit eine WS-Trust Issue RST an ETS für
698 eine ELGA Treatment-Assertion ab (um nachfolgende [ITI-18/43] Transaktionen ausführen
699 zu können).

700 1.8.1.1. Protokollierung

701 QIDO-SF protokolliert entsprechend der bereits bekannten Regeln einer initiierten AGW,
702 und zwar in L-ARR und A-ARR. Nachdem aber QIDO-SF zentral aufgestellt und ein Cloud-
703 Dienst ist, kann L-ARR mit dem Z-L-ARR (zentrale L-ARR) ersetzt werden.

704 **1.8.2. QIDO-as-a-Service (QIDOaaS)**

705 QIDOaaS ist ein auf Cloud-Technologie basierender, zentraler Service (Dienst) mit einer vor-
706 geschalteten Service Facade (Abbildung 8), die wiederum als dezentral laufender Teil des
707 Berechtigungssystems zu verstehen ist. Die Hauptaufgabe der zentralen QIDOaaS-Kompo-
708 nente ist es, QIDO-RS Anfragen zu beantworten und sekundär wie ein Service-Discovery
709 Dienst (für WADO-RS Endpunkte) zu dienen.

710 QIDOaaS muss zuerst vom ETS eine oder mehrere ELGA Treatment-Assertions anfordern.
711 QIDOaaS präsentiert hierfür die bei der Initialanfrage (QIDO-RS) übermittelte HCP-Assertion
712 (oder User I Assertion), die durch die dezentrale Berechtigungssystemkomponente (die
713 QIDO Service Facade) übergeben wurde.

714 Soweit ETS (nach Validierungen und Policy Überprüfungen) die ELGA Treatment-Assertions
715 (laut PIX-Query) ausstellen konnte, muss die QIDO-RS Abfrage auf SOAP-basierende IHE
716 Transaktionen übersetzt werden. Es wird zuerst eine Registry Stored Query [ITI-18] für KOS-
717 Objekte abgesetzt und danach müssen die zutreffenden KOS-Objekte geladen werden [ITI-
718 43].

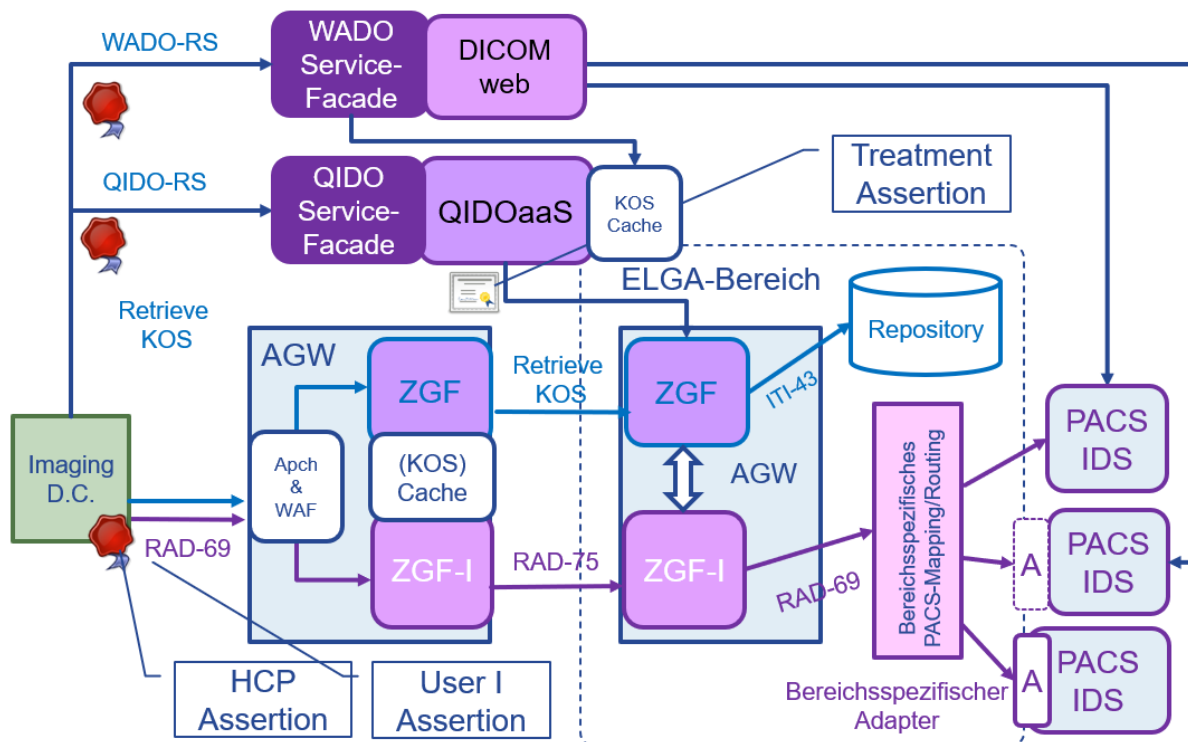
719 Darüber hinaus muss eine Vorgehensweise etabliert werden, indem die zu den Studien/Se-
720 rien passenden WADO-RS Endpunkte ermittelt werden und in die RESTful-Antwort [RAD-
721 129] eingebettet werden (laut Bestimmungen des Richardson Maturity Models, siehe bei
722 Martin Fowler³). Hierfür sind die dafür prädestinierten KOS-Attribute (Retrieve URL, Retrieve
723 AET, Retrieve Location UID) zu konsultieren und weitere (organisatorische) Maßnahmen
724 heranzuziehen (etwa tabellarische Erfassung bekannter WADO-RS Endpunkte als Teil der
725 Systemkonfiguration). Anschließend muss QIDOaaS die geladenen KOS-Objekte im eigenen
726 zentralen Cache für eine gewisse vorkonfigurierte Zeit (30 Minuten) aufheben.

727 Zuletzt muss QIDOaaS die Antwort formatieren, mit DICOM-Metadaten (vom KOS und an-
728 hand der ELGA Metadaten) entsprechend der Spezifikation anreichern und zurücksenden.

³ <https://www.martinfowler.com/articles/richardsonMaturityModel.html>

729 1.8.2.1. Protokollierung

730 Die QIDOaaS-Komponente protokolliert entsprechend der bereits bekannten Regeln einer
 731 initiiierenden AGW, und zwar in L-ARR und A-ARR. Nachdem aber QIDOaaS zentral aufge-
 732 stellt und ein Cloud-Dienst ist, kann L-ARR mit dem Z-L-ARR (zentrale L-ARR) ersetzt wer-
 733 den.



734

735 *Abbildung 8: Alternative Implementierung des WIA-Profiles mit WS-Trust und SAML2-Autori-*
 736 *sierung. Die roten Stempel bezeichnen eine existierende und gültige HCP-Assertion. Die*
 737 *QIDO-Service-Facade und die WADO-Service-Facade sind dezentrale Teile des Berecht-*
 738 *igungssystems.*

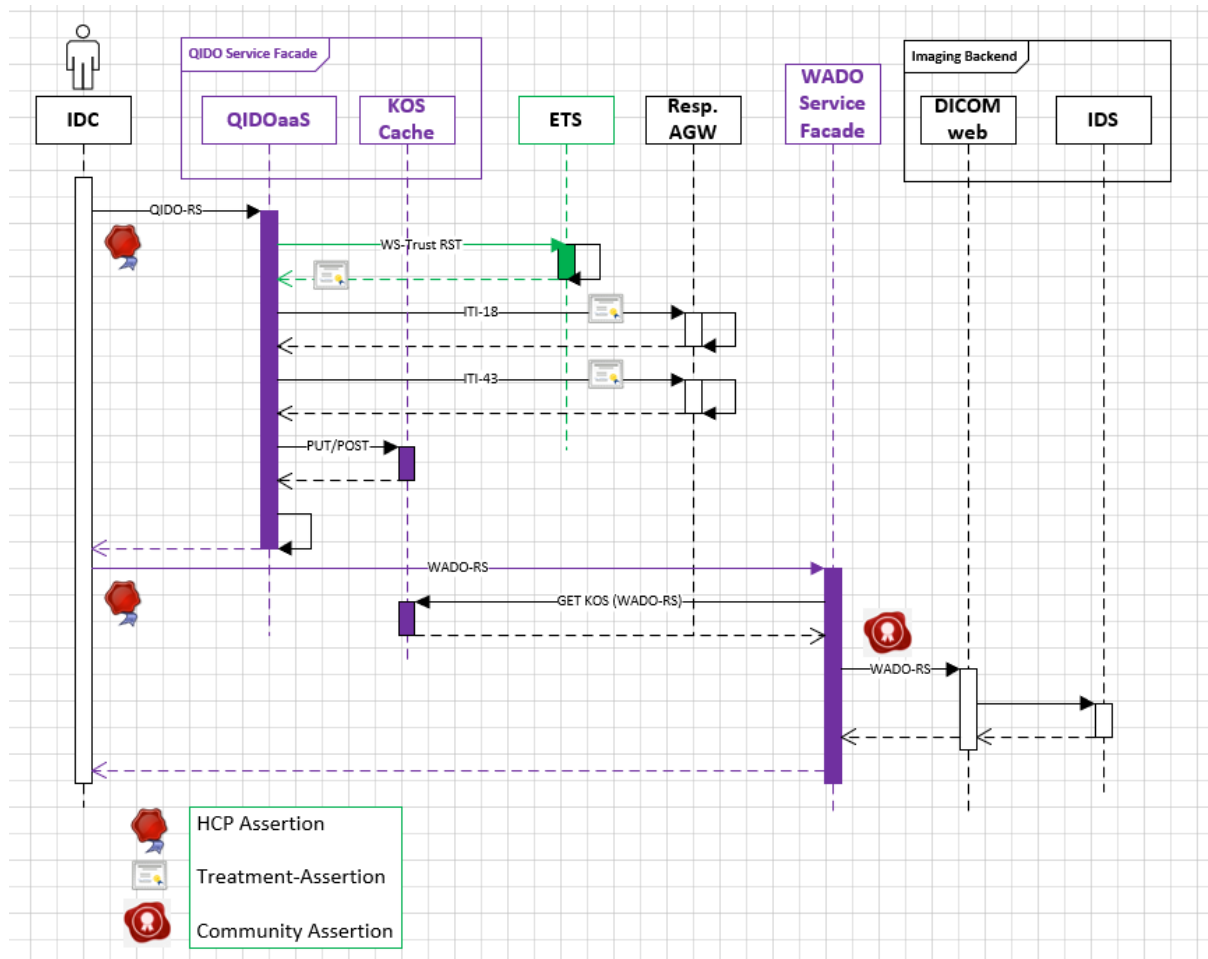
739 1.8.3. WADO Service Facade (WADO-SF)

740 Eine WADO-SF ist ein dezentral laufender Teil des Berechtigungssystems und dient als vor-
 741 geschalteter Schutz vor einem entsprechenden DICOMweb-Service, welcher WADO-RS An-
 742 fragen umsetzt. Sie empfängt und validiert herankommende WADO-RS Anfragen. Die
 743 WADO-SF kann einen herankommenden WADO-RS Request an den DICOMweb-Service
 744 nur dann weiterleiten, wenn

- 745 1. Im Authorization-Header der Anfrage eine gültige (validierte) HCP-Assertion (oder U-
 746 ser I Assertion) angeführt ist
- 747 2. Die in der WADO-RS Anfrage angeführten Studien/Serien und SOP-Instanzen im
 748 KOS-Cache der QIDOaaS-Komponente mit dem GDA-OID des Imaging Document

749 Consumers (GDA) verknüpft sind und damit erlaubt sind. Hierfür ist eine zusätzliche
 750 Anfrage an den KOS-Cache der QIDOaaS-Komponente abzusetzen.

751 Die wie oben angeführt validierte Anfrage wird in der Folge an das DICOMweb-Service ent-
 752 weder mit einem JWT Community-Token oder mit einer ELGA Community Assertion (konfi-
 753 gurierbar) im Authorization-Header weitergeleitet.



754

755 *Abbildung 9: UML-Sequenz für Bilddaten-Zugriffe in den Gesundheitsnetzwerken*

756 1.8.3.1. Protokollierung

757 WADO-SF kann entsprechend der bereits bekannten Regeln einer initiiierenden AGW proto-
 758 kollieren, und zwar in L-ARR und A-ARR. Der jeweilige Betreiber von WADO-RS Kompo-
 759 nente muss dafür Sorge tragen, dass ein entsprechendes L-ARR (Syslog-Server) zur Verfü-
 760 gung gestellt wird. Wie die WADO-RS Anfragen im A-ARR protokolliert werden, ist noch
 761 nicht spezifiziert.

762 **1.8.4. Ablauf und GDA-Kommunikation**

763 Entsprechend Abbildung 9 startet die Abfrage der Bilddaten in den gesicherten Gesundheits-
764 netzwerken wie folgt:

- 765 1. GDA ist bereits authentifiziert und mit einer gültigen HCP-Assertion angemeldet
- 766 2. GDA IDC sendet eine RAD-129 (QIDO-RS) Anfrage an die zentral aufgestellte QIDO-
767 SF. Im Authorization-Header ist eine gültige HCP-Assertion eingefügt
- 768 3. QIDO-SF empfängt die Anfrage und validiert sie. Die HCP-Assertion wird entspre-
769 chend der gültigen ELGA-Richtlinien validiert.
- 770 4. Wenn die Nachricht und HCP-Assertion valide sind, wird die Nachricht inklusive der
771 HCP-Assertion an die QIDOaaS-Komponente weitergeleitet.
- 772 5. QIDOaaS fragt bei ETS mit WS-Trust Issue RST eine entsprechende Anzahl von
773 ELGA Treatment-Assertions ab.
- 774 6. QIDOaaS verhält sich wie eine initiiierende ZGF und mit den erhaltenen ELGA Treat-
775 ment Assertions startet sie parallele ITI-18 FindDocuments Queries (Filter auf KOS-
776 Dokumentenklasse) an die adressierten ELGA-Bereiche.
- 777 7. QIDOaaS lädt die per vorherigen Query erhaltenen KOS-Objekte via ITI-43 Anfragen.
778 KOS-Objekte werden nun im Cache für gewisse Zeit (30 Minuten) zwischengespei-
779 chert.
- 780 8. QIDOaaS extrahiert von den KOS-Objekten die für die QIDO-RS Antwort notwendige
781 Informationen und formatiert sie. Entsprechend der Vorgaben müssen valide WADO-
782 RS Endpunkte in die Antwort eingefügt werden, soweit solche vorhanden sind. Falls
783 kein Endpunkt verfügbar ist, z.B. weil die IDS noch nicht DICOMweb-fähig ist, muss
784 der IDC stattdessen den XCA-I Weg mit RAD-69 gehen.
- 785 9. QIDOaaS sendet die Antwort über die QIDO-SF dem GDA IDC.
- 786 10. QIDOaaS protokolliert die Events in Z-L-ARR und A-ARR
- 787 11. QIDOS-SF protokolliert die Events in Z-L-ARR
- 788 12. GDA IDC empfängt die QIDO-RS Antwort und baut daraus eine WADO-RS Anfrage
789 auf.
- 790 13. GDA IDC sendet WADO-RS Anfrage [RAD-107] an den angeführten (in der QIDO-RS
791 Antwort) WADO-RS URL inklusive HCP-Assertion im Authorization-Header.
- 792 14. WADO-SF empfängt die Anfrage und validiert sie, inklusive HCP-Assertion.

793 15. WADO-SF muss die GET-Query analysieren und die adressierten Studien, Serien,
 794 SOP-Instanzen über eine spezifische Anfrage mit dem KOS-Cache abgleichen. Ent-
 795 hält der KOS-Cache die in der Anfrage angeführten Studien, Serien und SOP-Instan-
 796 zen verbunden mit dem GDA-OID des anfragenden IDC, dann kann die Anfrage an
 797 den DICOMweb-Service weitergeleitet werden.

798 16. WADO-SF leitet die WADO-RS Anfrage je nach Konfiguration entweder mit einer
 799 ELGA Community-Assertion oder mit einer JWT Community-Token weiter.

800 17. WADO-SF protokolliert die Events in Z-L-ARR. Analog zur RAD-69 (XCA-I/XDS-I)
 801 wird zum jetzigen Zeitpunkt in A-ARR nicht protokolliert.

802 **1.9. IHE WIA Architektur im Internet**

803 Eine technische Lösung über das Internet ist in der Abbildung 10 dargestellt. Hierfür ist es
 804 notwendig allen betroffenen Imaging Document Consumer (IDC) Akteure einen entsprechen-
 805 den sicheren Internetzugang auf die DICOMweb-Service Endpunkte zu gewähren. Die End-
 806 punkte sind durch die fürs Internet gehärteten Alternativvarianten der antwortenden
 807 AGW/ZGF in Form von vorgeschalteten Autorisierungsfassaden (QIDO-SF/WADO-SF) ge-
 808 schützt.

809 Auch in dieser Architekturvariante (Abbildung 10) ist davon auszugehen, dass die Abfrage
 810 des Bildmaterials entsprechend WIA-Profil Use Case #4 [6] ablaufen wird. Die Akteure agie-
 811 ren weitgehend analog zur IHE WIA Architektur in Gesundheitsnetzen.

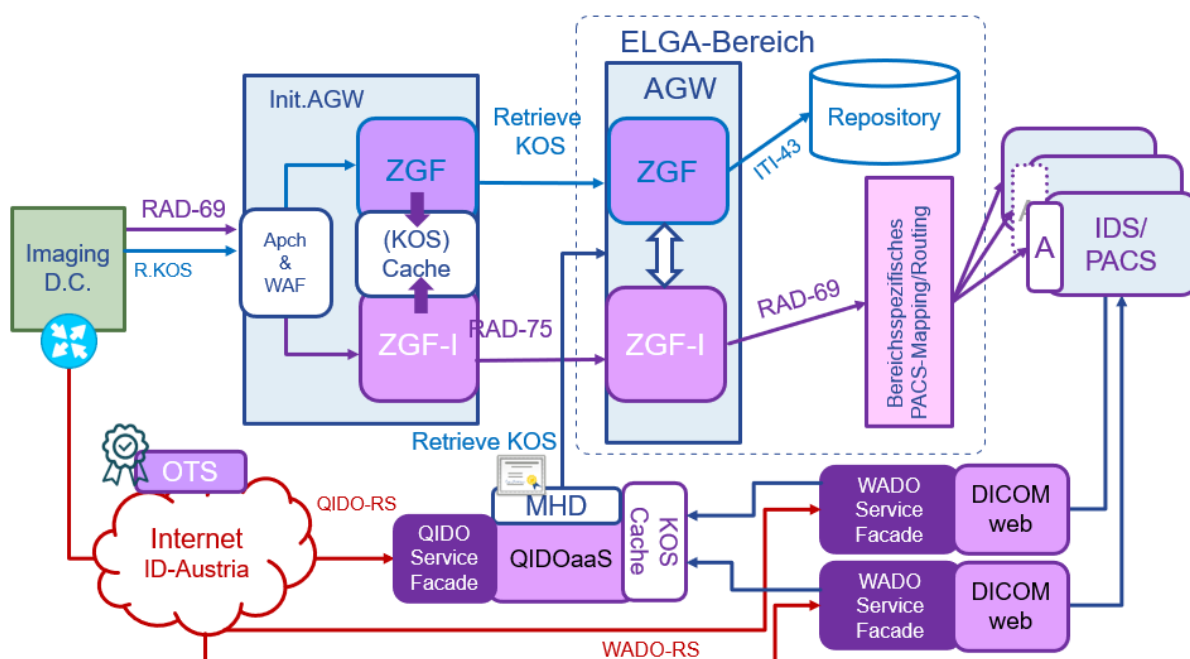
812 *Anmerkung: Die Internet-Lösung befindet sich noch in der Konzeptionsphase und erhebt kei-*
 813 *nen Anspruch auf Vollständigkeit. Die Beschreibung in diesem Dokument dient als Ausblick*
 814 *auf die künftige Ausrichtung. Technische Details können sich noch ändern.*

815 **1.9.1. QIDO Service Facade (QIDO-SF)**

816 Die QIDO-SF ist ein dezentral laufender Teil des Berechtigungssystems. Sie autorisiert und
 817 schützt die QIDOaaS-Komponente vor nicht zulässigen Zugriffen. Sie stellt einen zentralen
 818 QIDO-RS Endpunkt (URL) zur Verfügung. Die Autorisierung der [RAD-129] Anfragen erfolgt
 819 im Sinne der OAuth2-Protokolle. Die Anfrage ist entweder innerhalb einer bereits aufgebau-
 820 ten Session autorisiert oder es muss anhand des Code-Token (im Authorization-Header)
 821 eine neue Session zum anfragenden Clienten (IDC) aufgebaut werden. Hierfür fragt die
 822 QIDO-SF im Back-Channel vom OTS einen entsprechenden Access-Token ab. Wenn der
 823 Access-Token den Zugriff erlaubt, dann initiiert QIDO-SF damit eine Abfrage für eine HCP-
 824 Assertion (oder User I Assertion). Anschließend wird die Anfrage inklusive HCP-Assertion im
 825 Authorization-Header an die QIDOaaS-Komponente weitergeleitet.

826 **1.9.2. QIDO-as-a-Service (QIDOaaS)**

827 Der QIDO-RS Endpunkt der QIDOaaS-Komponente ist mit einer vorgeschalteten QIDO-SF
 828 geschützt. Über eine QIDO-RS [RAD-129] Query, wie vom WIA-Profil vorgesehen, wird **indi-**
 829 **rekt** ein oder mehrere KOS abgefragt und die Antwort entsprechend nachjustiert und forma-
 830 tiert. Die tatsächliche KOS-Abfrage erfolgt via SOAP-basierten XDS/XCA-Anfragen [ITI-
 831 18/43]. Netzwerk- und Protokollwechsel, wie abgebildet (vom Internet in die Gesundheits-
 832 netzwerke), ist entsprechend IHE MHD-Profil vorzusehen. Die von der QIDO-SF empfan-
 833 gene Anfrage muss eine HCP-Assertion (oder User I Assertion) im Authorization-Header ha-
 834 ben. Die QIDOaaS-Komponente als vertrauenswürdige Einheit, beantragt damit eine oder
 835 mehrere ELGA Treatment Assertions. Die QIDO-RS Anfrage wird auf [ITI-18/43] Transaktio-
 836 nen umgewandelt.



837

838 *Abbildung 10: QIDO- & WADO-RS Implementierung über das Internet. OTS (OAuth2 Token*
 839 *Service) sowie QIDO-SF und WADO-SF sind neue Komponenten des ELGA/e-Health Be-*
 840 *rechtigungssystems. IDS = Imaging Document Source (eventuell auch ein Kurzzeitarchiv)*

841 In der REST-Antwort von der QIDOaaS-Komponente muss immer der jeweils zuständige
 842 WADO-RS Endpunkt [RAD-107] sog. „retrieve URL“ (entsprechend Richardson Maturity Mo-
 843 del⁴) angeführt werden (soweit bekannt).

⁴ <https://www.martinfowler.com/articles/richardsonMaturityModel.html>

844 **1.9.3. WADO Service Facade (WADO-SF)**

845 Die im Kernbereich (Gesundheitsnetzwerke) geltenden Regeln „ohne KOS kein Bildmaterial“
 846 wird auch hier (mit den Mechanismen des Berechtigungssystems) nahtlos umgesetzt. An-
 847 ders gesagt, vor einem WADO-RS Aufruf muss zeitnah eine entsprechende QIDO-RS Trans-
 848 aktion durchgeführt werden. Die QIDO-RS Antwort gibt eindeutige Anhaltspunkte, auch be-
 849 züglich des Vorhandenseins von WADO-RS Endpunkten. Wenn in der Antwort kein „retrieve
 850 URL“ angeführt ist, kann das Bildmaterial nur klassisch (XDS-I/XCA-I) in den Gesundheits-
 851 netzwerken abgeholt werden.

852 Der WADO-RS Endpunkt der WADO-SF ist daher nur dann sinnvoll anzusteuern, wenn der
 853 IDC vorher bereits eine erfolgreiche QIDO-RS Antwort erhalten hat. Die initiale WADO-RS
 854 Anfrage ist mit einem Code-Token (ausgestellt vom OTS) anzusteuern. WADO-SF nimmt
 855 den Code-Token entgegen und fragt im Back-Channel vom OTS den eigentlichen Access-
 856 Token ab. Wenn der Access-Token gültig ist und den Zugriff erlaubt, dann wird eine Session
 857 zum IDC aufgebaut. Zusätzlich macht WADO-SF eine entsprechende KOS-Cache Abfrage,
 858 um die inhaltliche Zulässigkeit der WADO-RS Anfrage zu prüfen. Erst wenn diese Prüfung
 859 erfolgreich ist, kann die Anfrage mit einem Community JWT-Token an den nachgeschalteten
 860 DICOMweb-Service weitergereicht werden. Siehe auch Kapitel 1.9.5 für detaillierte Ausführ-
 861 ung des Kommunikationsablaufes.

862 **1.9.4. Authentifizierung und Zugriffsautorisierung**

863 Das Internet bedingt geeignete Authentifizierungs- und Autorisierungsprotokolle wie Open ID
 864 Connect bzw. OAuth2 (Version 2.1 oder höher). Darüber hinaus sind zusätzliche Maßnah-
 865 men und Empfehlungen für Sicherheit bei Umgang mit dem OAuth2-Framework, z.B. [8], zu
 866 berücksichtigen.

867 **1.9.4.1. Authentifizierung**

868 Die Authentifizierung der Anwender und Teilnehmer kann ausschließlich an vertrauenswürdige
 869 Identity Provider (IdP) ausgelagert werden, die OIDC/OAuth2 unterstützen. Im Internet-
 870 umfeld ist derzeit nur ID-Austria als vertrauenswürdiger IdP anzusehen. Nach einer erfolgrei-
 871 chen Authentifizierung wird die elektronische Identität der Person (Anwender) durch eine
 872 bPK-GH im e_id Token bestätigt.

873 Der OAuth2 Internet Token Service (OTS) ist für die Autorisierung zuständig. OTS stellt Ac-
 874 cess-Tokens im Sinne von OAuth2 aus. Darüber hinaus steuert OTS einen entsprechenden
 875 „Authorization Code Grant Flow“ (siehe OpenID Connect [9]), soweit ein anonymer Request
 876 den dafür zuständigen Endpunkt des OTS erreicht. OTS leitet demnach eine hereinkom-
 877 mende anonyme Anfrage an die zuständige Authentifizierungsstelle (z.B. ID-Austria/Digitales
 878 Amt) um.

879 Um eine bereits im ELGA-Umfeld authentifizierte Personen (Anwender/Teilnehmer) zu auto-
880 risieren (bzw. zu föderieren), muss eine Verknüpfung (bzw. Mapping) des bereits bestätigten
881 bPK-GH zu einem im GDA-Index geführten GDA-OID gewährleistet sein. Diese Verknüpfung
882 ist daher eine grundlegende Voraussetzung für eine erfolgreich abschließbare Authentifizie-
883 rung von Anwendern und Teilnehmern.

884 Alternative IdP im Internetumfeld müssen die entsprechenden standardisierten Protokolle
885 OIDC/OAuth2 umsetzen und für einen Internetbetrieb gehärtet (und zertifiziert) sein (z.B. e-
886 Card-System).

887 1.9.4.1.1. Authentifizierung im Internet ohne ID-Austria

888 Wenn ein Anwender (GDA) bereits in den Gesundheitsnetzwerken authentifziert ist und eine
889 gültige HCP-Assertion besitzt, dann kann gemäß RFC 7522 der Richtlinie der OAuth Work-
890 ing Group „[SAML 2.0 Profile for OAuth 2.0 Client Authentication and Authorization Grants](#)“
891 ein JWT-Access-Token vom OTS angefordert und damit föderiert werden. Der vom OTS
892 ausgestellte Access-Token ermächtigt die Anwender (und Teilnehmer) für reguläre QIDO-RS
893 und WADO-RS Zugriffe.

894 1.9.4.2. Autorisierung

895 Autorisierung der QIDO/WADO-Zugriffe erfolgt entsprechend geltenden GTelG Vorgaben.
896 Die Umsetzung wird durch eine zentrale OTS-Instanz (als Authorization Server im Sinne von
897 OAuth2) und durch vorgeschalteten Service Facaden durchgeführt (siehe Abbildung 10 so-
898 wie Kapitel 1.9.2 und 1.9.3). Im Access-Token, der vom OTS ausgestellt wird, werden alle
899 Zugriffsrechte der Anwender aufgelistet. Die vorgeschalteten Service Facaden überprüfen,
900 ob im Access-Token, der gerade angesprochene URL-Service Endpunkt angeführt und ge-
901 stattet ist. Wenn der Zugriff erlaubt ist, reichen die Service Facaden die Anfrage unverändert
902 an die zuständigen Services (QIDOaaS oder DICOMweb) weiter. Im Authorization-Header
903 wird zusätzlich und ausschließlich für Informations- und Protokollierungszwecke ein Commu-
904 nity-Token gesetzt (entspricht inhaltlich der bekannten Community-Assertion).

905 1.9.4.3. KOS/QIDO-Spezifika

906 Die Zugriffsautorisierung für Bilddaten erfolgt im Fall von XDS-I/XCA-I auf Basis des berech-
907 tigten Besitzes des entsprechenden KOS-Objektes, welches für die Dauer von 30 Minuten im
908 lokalen Cache der initiiierenden AGW/ZGF aufgehoben wird. Nachfolgende RAD-69 Zugriffe
909 über die AGW/ZGF werden erst nach Abgleich mit dem im Cache gespeicherten KOS er-
910 laubt. Anders gesagt, wenn ein GDA berechtigt ist, auf ein KOS zuzugreifen und dieses ab-
911 zurufen, wird das ELGA-BeS auch die nachfolgenden RAD-69 autorisieren und zulassen, so-
912 fern nur im KOS angeführte SOP-Instanzen adressiert sind.

913 Eine entsprechende Alternativlösung über das Internet muss mithilfe der QIDOaaS Kompo-
 914 nente vorgesehen werden. In diesem Szenario muss zuerst eine QIDO-Abfrage (WIA-Profil)
 915 erfolgen. Nach einem erfolgreichen Zugriff hebt das QIDOaaS die so eingelesenen und an
 916 eine GDA-OID/bPK-GH Pärchen gebundenen KOS und deren Metadaten im eigenen Cache
 917 auf (siehe Abbildung 11, UML-Sequenz). Bei nachfolgenden WADO-RS Zugriffen mit dem-
 918 selben GDA fragt die zuständige WADO-SF das im zentralen QIDO-Cache gehaltene KOS
 919 ab (Studien/Serien/SOP-Instanzen). Der WADO-RS Zugriff wird nur dann erlaubt, wenn die
 920 in der Abfrage angeführten SOP-Instanzen im entsprechenden KOS (Cache) beinhaltet sind.

921 1.9.4.4. Das „Retrieve URL“ (0008,1190) Problem

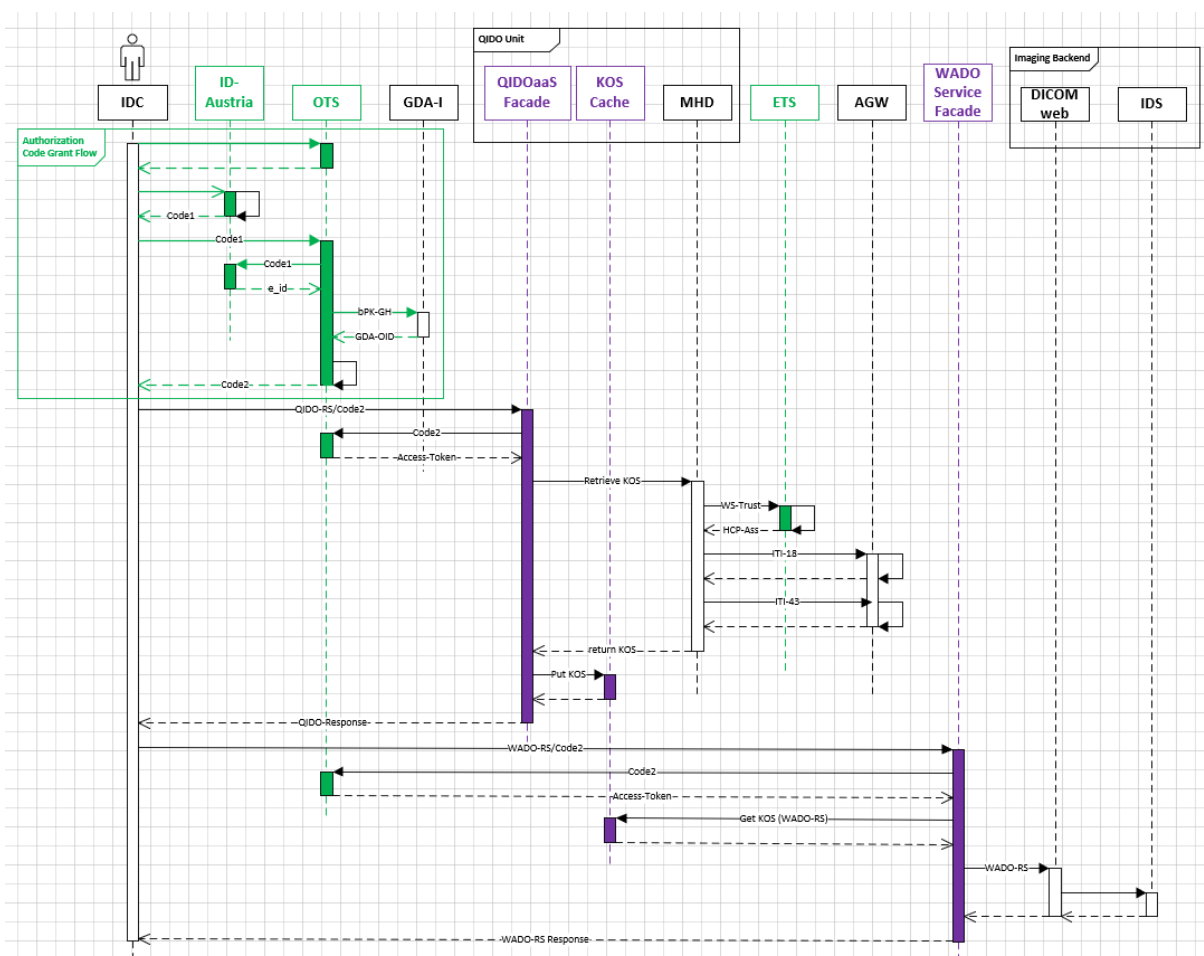
922 Prinzipiell kann davon ausgegangen werden, dass die QIDO-Antwort auf einem dazu pas-
 923 senden KOS-Objekt beruht. Anders gesagt, um eine QIDO beantworten zu können, muss ein
 924 entsprechendes KOS gelesen/gefunden werden (siehe Abbildung 10, Abbildung 11). Wird
 925 daher für QIDO ein KOS herangezogen, dann muss das im KOS vorhandene „retrieve URL“-
 926 Attribut eventuell überprüft und bearbeitet werden. Nachdem das Attribut „retrieve URL“ opti-
 927 onal ist, gibt es keine Garantie, dass diese Information vorhanden ist. Somit gesehen müs-
 928 sen organisatorisch und technisch Alternativ-Wege (Attribut AE-Title oder RetrieveLoca-
 929 tionUID) gefunden werden, um den tatsächlichen WADO-RS Endpunkt (URL) zu eruieren.
 930 Fest steht jedoch, dass das im KOS angeführte „retrieve URL“ Attribut nicht automatisch und
 931 ungeprüft für Zugriffe entsprechend WIA-Profil anzuwenden sind.

932 1.9.5. Ablauf und GDA-Kommunikation mit DICOMweb-Services im Internet

933 Prinzipiell muss das so genannte "*Authorization Code Grant*" Verfahren gemäß OIDC/O-
 934 Auth2 Standards [7] implementiert werden. Konkret wird von folgendem Szenario ausgegan-
 935 gen (UML-Sequenz siehe in der Abbildung 11 weiter unten):

- 936 1. Die Authentifizierung von GDA IDC startet durch einen anonymen Request an den
 937 entsprechenden Endpunkt des OTS. Damit beginnt der Prozess eines *Authorization*
 938 *Code Grant Flows* (grün umrahmter Bereich links oben in der Abbildung 11). Der ano-
 939 nyme Request wird automatisch an ID-Austria umgeleitet, wo die tatsächliche Au-
 940 thentifizierung stattfindet. Am Ende des Prozesses stellt OTS für den GDA-Akteur ei-
 941 nen „Code2“-Hash Token aus (weil „Code1“ von ID-Austria ausgestellt wird).
- 942 2. GDA IDC kontaktiert mit „Code2“ den QIDO-RS Endpunkt von QIDO-SF und baut
 943 eine Session auf
- 944 3. QIDO-SF fragt mit „Code2“ (im *Back-Channel*) den Access-Token vom OTS ab und
 945 wenn der Token gültig und der Zugriff autorisiert ist, beantragt sie bei ETS via WS-
 946 Trust Issue RST Anfrage eine ELGA HCP-Assertion (oder User I Assertion). Danach

- 947 leitet sie die QIDO-RS Anfrage mit der HCP-Assertion im Authorization-Header an die
 948 QIDOaaS-Komponente weiter.
- 949 4. QIDOaaS arbeitet wie eine initiiierende ZGF und anhand erhaltener HCP-Assertion
 950 beantragt bei ETS eine (oder mehrere) ELGA Treatment-Assertion. Danach holt sie
 951 damit ein oder mehrere KOS vom Kernsystem ab [ITI-18/43]. Hierbei kommt eine
 952 Protokollumsetzung via IHE MHD-Profil zum Zug.
- 953 5. QIDOaaS speichert die gelesenen KOS-Objekte, Studien, Serien, SOP-Instanzen im
 954 eigenen zentralen KOS-Cache (verknüpft mit dem GDA.OID des IDC) für gewisse
 955 Zeit (etwa 30 Minuten). Die QIDO-RS Antwort wird formatiert, mit DICOM-Metadaten
 956 aus dem KOS angereichert (inklusive „Retrieve URL“) und an QIDO-SF weitergelei-
 957 tet.
- 958 6. QIDOaaS protokolliert in Z-L-ARR und in A-ARR
- 959 7. QIDO-SF sendet die Antwort an den GDA IDC.
- 960 8. QIDO-SF protokolliert in Z-L-ARR
- 961 9. GDA IDC erkennt (identifiziert) in der erhaltenen QIDO-Antwort den notwendigen
 962 WADO-RS Endpunkt.
- 963 10. GDA kontaktiert mit noch gültigem „Code2“ den WADO-RS Endpunkt (WADO-Ser-
 964 vice-Facade).
- 965 11. WADO-Service-Facade holt mit „Code2“ im Back-Channel vom OTS den gültigen Ac-
 966 cess-Token.
- 967 12. Wenn der Access-Token den Zugriff prinzipiell genehmigt, kontaktiert die WADO-Ser-
 968 vice-Facade den beim QIDOaaS eingerichteten KOS-Cache (entsprechender End-
 969 punkt), um die Autorisierung des angefragten Bildmaterials zu vervollständigen.
 970 Wenn der Zugriff nur auf im KOS-Cache aufgehobenen Studien/Serien/SOP-Instan-
 971 zen beschränkt ist, dann wird die Anfrage an den DICOMweb-Service weitergeleitet.
- 972 13. Es wird darüber hinaus zwischen GDA und WADO-SF eine Session aufgebaut.
- 973 14. WADO-SF leitet die WADO-RS Anfrage an den dahinterstehenden DICOMWeb-Ser-
 974 vice mit einer Art JWT "Community-Token" im Authorization-Header weiter. Der
 975 „Community-Token“ dient als Information für ein eventuelles Auditing.
- 976 15. WADO-SF protokolliert die Ereignisse (Events) im zur Verfügung gestellten L-ARR
- 977 16. WADO-Service-Facade muss die WADO-RS Anfrage ablehnen, wenn im entspre-
 978 chenden Scope des KOS-Caches die angeforderten Bilddaten (Studien/Serien oder
 979 SOP-Instanzen) nicht geführt (nicht erlaubt) sind.

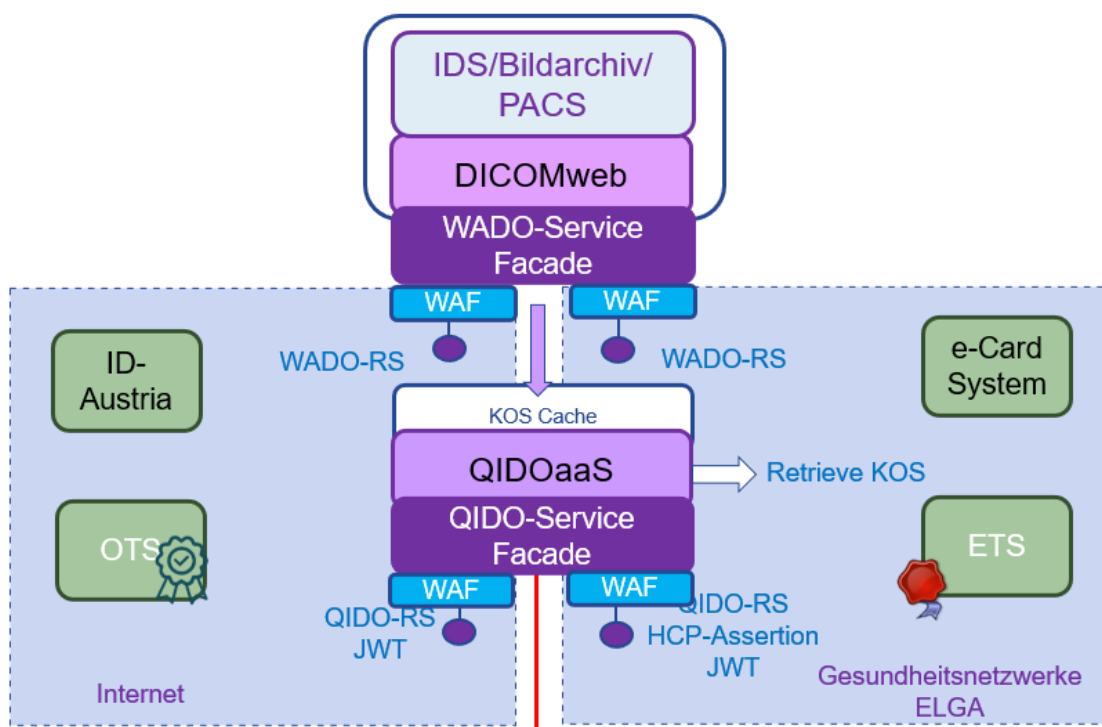


980

981 *Abbildung 11: UML-Sequenz für Bilddaten-Zugriff im Internet. Grün markiert sind explizite*
 982 *Authentifizierungs- und Autorisierungs-Verläufe entsprechend OAuth2/OIDC. Mit lila sind Ab-*
 983 *läufe hinsichtlich QIDO/WADO markiert.*

984 **1.10. Hybrides Szenario**

985 In diesem Szenario geht man davon aus, dass es für einen IDS-Anbieter von keiner wesentli-
 986 chen Bedeutung ist, ob die angebotenen DICOM-Objekte über das Internet oder über die
 987 Gesundheitsnetzwerke abgerufen werden, soweit die sichere, gesetzmäßige und korrekte
 988 Autorisierung der Zugriffe und Übertragung der Daten gewährleistet ist. Diese Vorstellung ist
 989 in der Abbildung 12 verdeutlicht. Unabhängig davon, ob es sich um Internet oder Gesund-
 990 heitsnetzwerke handelt, müssen in beiden Fällen die gleichen Funktionalitäten (wie etwa
 991 QIDOaaS, KOS-Cache, vorgeschalteten Autorisierungskomponenten, WIA-Profil) angeboten
 992 und implementiert werden. Lediglich die Endpunkte und die dahinterliegenden Autorisie-
 993 rungsszenarien (Autorisierungsprotokolle) unterscheiden sich in den einzelnen Netzwerken.



994

995 *Abbildung 12: IHE WIA Architektur, Hybrides Szenario*

996 Die Hauptaufgabe der Service Facaden ist die Zulassung von autorisierten Zugriffen bzw.
 997 eine binäre Entscheidung zu treffen, ob IDC zugreifen darf (JA), oder nicht (NEIN). Zusätz-
 998 lich sind diese Komponenten angehalten, die vorgeschriebenen Protokolle zu führen, und
 999 zwar in A-ARR und in L-ARR (oder Z-L-ARR).

1000 Die im Internet angebotenen Endpunkte der Service Facaden unterstützen nur OIDC Autho-
 1001 rization Code Grant Flow und OAuth2. Die in den Gesundheitsnetzwerken aufgestellten End-
 1002 punkte müssen auch WS-Trust und SAML2 Assertions unterstützen.

1003 **2. Anwendungsfälle**

1004 Die Anwendungsfälle des bereichsübergreifenden Bilddatenaustauschs in ELGA sind ent-
1005 sprechend der bereits **in der ELGA-Gesamtarchitektur** (V2.30) beschriebenen, allgemei-
1006 nen Anwendungsfälle zu definieren, und zwar mit der dort angeführten Nummerierung. Das
1007 hinter den Nummerierungen angeführte „i“ deutet explizit auf einen Imaging-Anwendungsfall
1008 hin.

1009 Grundsätzlich kann man zwischen folgenden Anwendungsszenarien unterscheiden:

- 1010 1) Das Bereitstellen von Bilddaten durch ELGA-GDA.
- 1011 2) Das Abrufen von Bilddaten durch ELGA-GDA mit Verwendungszweck „Ansicht“ und
1012 „Befundung“. Während für die Befundung eine komplette Studie in voller Qualität ab-
1013 gerufen werden können soll, muss es für die „Ansicht“ auch möglich sein, nur eine
1014 Teilmenge der Bilddaten oder eine reduzierte Bildqualität abzufragen.
- 1015 3) Das Abrufen von Bilddaten durch den Bürger am ELGA-Bürgerportal. Hier wird auf-
1016 grund der Datenmenge optional eine begrenzte Bildqualität verfügbar gemacht. Die
1017 Originalqualität wird auch weiterhin angeboten bleiben.

1018 Diese Anwendungsszenarien werden in den folgenden Kapiteln auf konkrete technische An-
1019 wendungsfälle abgebildet:

1020 **2.1. Anwendungsfälle von ELGA-Teilnehmern bzw. deren Vertretern**

Akteur / User-Agent	No.	Anwendungsfall	Anmerkung / Beispiel
ELGA-Teilnehmer	ET.1.8.i	Liste ausgewählter KOS-Objekte abrufen	Selektion via Filter (z.B. Datum, Kategorie, GDA, etc.) einschränken
	ET.1.9.i	Ein bestimmtes KOS-Objekt im JSON-Format auswählen, öffnen	KOS-Objekt inhaltlich verständlich darstellen (Studien, Serien)
	ET.1.11.i	Ein bestimmtes Bildmaterial bzw. Studie/Serie auswählen, öffnen	HTML5 freundliche Darstellung am Portal. Eventuelle Anwendung von Open Source Viewer (z.B. OHIF)
	ET.1.12.i	Vorversionen eines KOS-Objektes im JSON-Format abrufen	Ausgehend von einer geöffneten aktuellen Version
	ET.1.13a.i	Ein bestimmtes Bild als PDF herunterladen (oder drucken)	Adobe/PDF-Bedingungen am Client sind zu prüfen. Ausbau der EBP-Funktionalität ist erforderlich,
	ET.1.13b.i	Ein oder mehrere Bilder als JPEG herunterladen (bzw. drucken)	Das Portal bietet dem ELGA-Teilnehmer das Herunterladen der eigenen Bilder in voller oder reduzierter Qualität an. Ausbau der EBP-Funktionalität ist erforderlich.

1021 *Tabelle 1: ELGA-Teilnehmer Anwendungsfälle*

1022

1023

1024 **2.2. GDA-Anwendungsfälle (XDS-I & XCA-I)**

Akteur / User-Agent	No	Anwendungsfall	Anmerkung / Beispiel
GDA	GDA.3.9.i	Alle KOS-Objekte zu einem Patienten abrufen	Registry Stored Query wird ausgelöst. FindDocuments mit Filter auf KOS-Dokumentenklasse 55113-5
	GDA 3.9.i.2	KOS-Objekte selektiv suchen	Registry Stored Query wird ausgelöst. FindDocuments mit Filter auf KOS-Dokumentenklasse 55113-5 und eventCodeList auf APPC
	GDA.3.10.i	KOS-Objekt(e) zu einem Patienten abrufen. Original DICOM oder JSON-Formate sind zu unterstützen	Retrieve Document Set wird ausgelöst. Das KOS-Objekt wird lokal zwischengespeichert. Vorbedingung: GDA 3.9.i oder GDA 3.9.i.2
	GDA.3.14.i	Instanzen (Studien / Serien/ SOP-Instanzen) der bildgebenden Diagnostik abrufen (derzeit nur in vollständiger Qualität)	Retrieve Imaging Document Set wird ausgelöst. Eventuelles Speichern im lokalen Bereich ist vom BeS nicht unterstützt
	GDA.3.15.i	Befunde mit KOS verbinden	Via Metadaten. In „referenceIdList“ „accessionNumber“ einfügen
	GDA.3.16.i	Registrieren (freigeben) eigener KOS-Objekte in ELGA	RAD-68 wird ausgelöst
	GDA.3.17.i	Update von KOS durchführen (neue Version veröffentlichen)	Neue Version des KOS in die Registry einbringen
	GDA.3.18.i	Storno von KOS-Objekten	KOS-Objekte stornieren und dadurch unzugänglich machen

1025 *Tabelle 2: GDA-Anwendungsfälle (immer verpflichtend Patientenbezogen)*

1026

1027 **2.3. GDA-Anwendungsfälle (via WIA-Profile)**

Akteur / User-Agent	No	Anwendungsfall	Anmerkung / Beispiel
GDA	GDA.3.9.w	Vollständige Liste aller Studien/Serien zu einem Patienten abrufen	QIDO-RS wird ausgelöst. QIDOaaS implementiert GDA.3.9.i
	GDA 3.9.w.2	Nur in abgesicherten Gesundheitsnetzwerken! Bestimmte Studien/Serien zu einem Patienten suchen (um WADO-URL zu erhalten)	Im Vorfeld via XCA-I/XDS-I GDA 3.9.i oder GDA 3.9.i.2 und anschließend GDA 3.10.i durchführen. QIDO-RS selektiv mit Studie/Serie-ID auslösen.
	GDA.3.14.w	Instanzen (Studien / Serien/ SOP-Instanzen) der bildgebenden Diagnostik abrufen (Unterstützung bzw. Abfrage von Bilddaten in reduzierter Qualität)	WADO-RS wird ausgelöst. Vorbedingung ist eine zeitnahe QIDO-RS Abfrage. Speichern im lokalen Bereich ist vom BeS nicht unterstützt.
	GDA.3.15.w	Befunde mit Instanzen der bildgebenden Diagnostik verbinden	Umsetzung derzeit nur in den Gesundheitsnetzen möglich. Siehe GDA.3.15.i

1028

1029 *Tabelle 3: GDA Internet Anwendungsfälle (immer verpflichtend patientenbezogen)*

1030 **3. XDS-I Metadaten für Bilddaten**

1031 Dieser Abschnitt wird ausgelassen, weil die Beschreibung ab Version 3.0 (XDS Metadaten
1032 Leitfaden) separat auf der Homepage der HL7-Austria (<https://wiki.hl7.at/>) veröffentlicht ist.

1033

1034 4. Abbildungsverzeichnis

1035	Abbildung 1: XCA-I Konzept von IHE	9
1036	Abbildung 2: ELGA-bereichsübergreifender Bilddaten-Austausch	10
1037	Abbildung 3: Kommunikationswege und Schnittstellen. Ein bereichsspezifischer Adapter ist	
1038	eine im Bereich zentral aufgestellte Komponente. „A“ rechts im Bild (optionale	
1039	Komponente) bezeichnet lokale PACS- Adapter, welche http-basierende	
1040	Protokolle (SOAP und/oder REST) auf DICOM umwandeln.	12
1041	Abbildung 4: ZGF-I Basisarchitektur. „Retrieve KOS“ bezeichnet die Anfrage für ein KOS-	
1042	Objekt in verschiedenen Formaten (DICOM und JSON). Die Darstellung der rechts	
1043	im Bild angeführten Adapter ist symbolisch, da eventuell auch eine direkte	
1044	Kommunikation mit dem Archiv möglich ist.	14
1045	Abbildung 5: Skizze von für RAD-69 angeforderten netzwerktechnischen Verbindungen am	
1046	initiierenden und antwortenden AGW (rot eingekreist)	15
1047	Abbildung 6: Zugriff auf eine DICOM-Studie	20
1048	Abbildung 7: Fragmentierte Gesundheitsnetzwerke	24
1049	Abbildung 8: Alternative Implementierung des WIA-Profiles mit WS-Trust und SAML2-	
1050	Autorisierung. Die roten Stempel bezeichnen eine existierende und gültige HCP-	
1051	Assertion. Die QIDO-Service-Facade und die WADO-Service-Facade sind	
1052	dezentrale Teile des Berechtigungssystems.	28
1053	Abbildung 9: UML-Sequenz für Bilddaten-Zugriffe in den Gesundheitsnetzwerken	29
1054	Abbildung 10: QIDO- & WADO-RS Implementierung über das Internet. OTS (OAuth2 Token	
1055	Service) sowie QIDO-SF und WADO-SF sind neue Komponenten des ELGA/e-	
1056	Health Berechtigungssystems. IDS = Imaging Document Source (eventuell auch	
1057	ein Kurzzeitarchiv)	32
1058	Abbildung 11: UML-Sequenz für Bilddaten-Zugriff im Internet. Grün markiert sind explizite	
1059	Authentifizierungs- und Autorisierungs-Verläufe entsprechend OAuth2/OIDC. Mit	
1060	lila sind Abläufe hinsichtlich QIDO/WADO markiert.	37
1061	Abbildung 12: IHE WIA Architektur, Hybrides Szenario	38
1062		
1063		

1064 **5. Literaturverzeichnis**

- 1065 [1] ELGA GmbH, „Organisationsübergreifende Nutzung von Bild- und Multimediadaten
1066 im österreichischen Gesundheitswesen,“ V1.1, 2022
- 1067 [2] ELGA GmbH, „ELGA Gesamtarchitektur V2.30,“ ELGA GmbH, Wien, 2017.
- 1068 [3] ELGA GmbH, „XDS Metadaten Guide,“ V3.0.1, 2021.
- 1069 [4] DICOM Austria, „KOS Implementierungsleitfaden“, V1.0, 2022.
- 1070 [5] TIANI Spirit, „ELGA BeS Pflichtenheft V4.5a,“ CSC/TIANI, Wien, 2022.
- 1071 [6] IHE Int., „IHE RAD TF Supplement: Web-based Image Access (WIA),“ Rev.1.3, 2023.
- 1072 [7] Hardt, D., „The OAuth 2.0 authorization framework. No rfc6749“, 2012.
- 1073 [8] Lodderstedt, T., et al., „OAuth 2.0 Security Best Current Practice“, 2023-06-05.
- 1074 [9] OpenID Foundation, <https://openid.net/developers/specs/>, 2023

1075 **6. Dokumentenhistorie** (Auszug)

Ver- sion	Datum	Autoren	Änderungen
V.01	30.03.2016	Stefan Repas	Initialversion/Draft
V.06	08.06.2016	Stefan Sabutsch	XDS Metadaten und Anwendungsfälle eingefügt
V1.1	22.12.2017	Stefan Repas	WADO-WS wurde aus der Spezifikation entfernt (von NEMA nicht mehr unterstützt)
V1.5	3.12.2018	Martin Hurch	Endredaktion vor Weitergabe
V1.51	3.01.2019	Stefan Repas	Feedback zur Version 1.5 eingearbeitet
V1.54	27.11.2019	Stefan Repas	Protokollierungsanforderungen sind definiert. Vorgehensweise bei KOS Veröffentlichen mit <i>AccessionNumber</i> wurde klargestellt
V1.6	24.01.2020	Stefan Repas	Anforderungen an Netzwerkverbindungen für Bildübertragung aktualisiert
V1.62	05.03.2020	Stefan Sabutsch	APPC-Anforderungen korrigiert
V1.63	30.03.2020	Stefan Sabutsch	APPC-EventCodeList Mapping korrigiert
V1.64	01.04.2020	Stefan Sabutsch	Korrekturen in XDS Metadaten: 3.2.1. authorInstitution, 3.2.2. authorPerson, 3.2.5. classCode, 3.2.7. creationTime, 3.2.14. title, 3.2.15. typeCode, 3.2.22. healthcareFacilityTypeCode , Verweise, Zitate, Literaturliste
V1.65	20.04.2020	Stefan Sabutsch Silvia Winkler Emmanuel Helm Stefan Repas	Typos ausgebessert, Präzisierungen. Kapitel 1.4.5.5. und 1.4.10 zusammengeführt (Protokollierung) Kapitel 1.4.8 Kopplung von Befunden mit Bilddaten überarbeitet, Kapitel 1.4.9 Versionierung eingefügt. Korrekturen in XDS Metadaten: 3.2.6. confidentialityCode 3.2.11 serviceStartTime/serviceStopTime 3.2.13. sourcePatientInfo 3.2.17. referenceIdList 3.2.21. formatCode

			Gestrichen: 3.2.24. parentDocumentId
V1.70	12.11.2021	Stefan Repas	Erweiterung des Dokumentes mit Vorschlägen und Konzepten insbesondere RAD-107 & RetrieveRenderedImage
V1.71	18.11.2021	Stefan Repas	Themen mit Stefan Sabutsch besprochen, Kapitel 3 wurde ausgelagert.
V1.72	24.11.202	Stefan Repas	Asynchrone Kommunikation aufgrund HEX-I Erfahrung thematisiert
V1.73	03.12.2021	Stefan Repas	Anpassungen nach Review von Silvia Winkler (DICOM)
V1.74	14.12.2021	Stefan Repas	QIDO- & WADO-RS und Überarbeitung von Netzwerkiternen RAD-107 konsultierend mit Emmanuel Helm
V1.75	13.01.2022	Stefan Repas	Cross-Enterprise Remote Read Workflow Definition (XRR-WD) wurde in die Liste der Anforderungen aufgenommen
V1.85	06.12.2022	Stefan Repas, Oliver Kuttin	Laufende Anpassungen nach Diskussionen in der DICOM-Austria und gelb unterlegte Änderungen
V2.00a	06.03.2023	Stefan Repas Andreas Schuler Oliver Kuttin	Starke Überarbeitung insbesondere wegen WIA-Profil & DICOMweb-Services Einbindung. Einarbeitung von Feedbacks.
V2.00e	17.04.2023	Stefan Repas	Alternativszenario in den Gesundheitsnetzwerken eingearbeitet
V2.00f	04.09.2023	Stefan Repas, Emmanuel Helm	Einarbeitung der Kommentare aus der Architekturgruppe und von Systempartnern. Verweise auf WADO-URI sind entfernt worden. RetrieveRenderedImage wurde entfernt.

1076

1077

1078 **Ansprechpartner (Projektteam)**

Name	Rolle	Organisation	E-Mail
Stefan Repas	Architekt	ELGA GmbH	stefan.repas@elga.gv.at
Stefan Sabutsch	GF	ELGA GmbH	stefan.sabutsch@elga.gv.at
Andreas Schuler	Leiter Architektur	ELGA GmbH	andreas.schuler@elga.gv.at
Emmanuel Helm	Standards	ELGA GmbH	emmanuel.helm@elga.gv.at

1079